

Y
eduardo torroja
oficina técnica

VIA DUCTO DEL ESLA

CAPITULO VI

DETERMINACION DE LOS CORRIENTES
HORIZONTALES Y VERTICALES DE LOS
PUNTOS DEL INTRADOS DEL ARCO, DU-
TANTE EL HORMIGONADO

Y
Fecha Febrero 1940

Núm. 363.153

eduardo torroja
oficina técnica

VIA DUCTO DEL ESLA

DETERMINACION DE LOS CORRIEMIENTOS
HORIZONTALES Y VERTICALES DE LOS
PUNTOS DEL INTRADOS DEL ARCO, DU-
RANTE EL HORMIGONADO

I N D I C E

Corrimientos horizontales y verticales de los puntos de la cabeza superior de la cercha metálica estando ésta articulada.

Corrimientos horizontales y verticales de los puntos de la directriz cuando se han enclavado las articulaciones.

Paso de las elásticas halladas para los puntos de la cabeza superior y de la directriz, a las elásticas que corresponden al intradós del arco.

Corrimientos debidos a la maniobra de apertura de clave.

Correcciones de dimensiones iniciales a introducir en la directriz de la cercha metálica para compensar las deformaciones posteriores.

Dimensiones de las barras en montaje.

CORRIMIENTOS HORIZONTALES Y VERTICALES DE LOS
PUNTOS DE LA CABEZA SUPERIOR DE LA CIMBRA, ES
TANDO ESTA ARTICULADA.

ESTUDIO DE LOS CORRIMIENTOS.-

Distinguiremos dos casos, según que el arco esté articulado, ó se hayan enclavado las articulaciones.

CORRIMIENTO EN EL ARCO ARTICULADO:

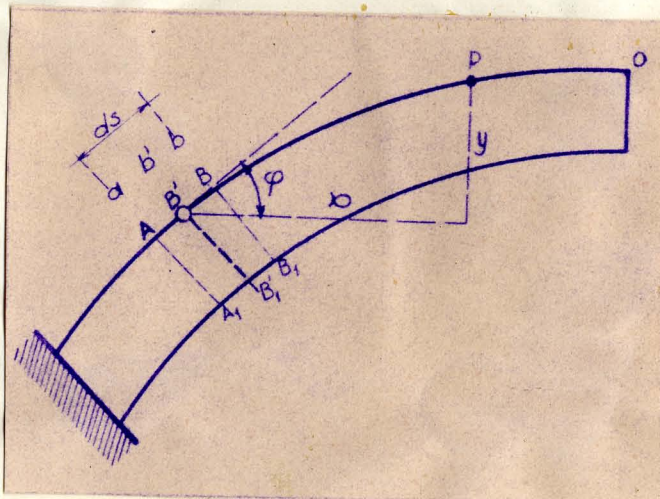
Cuando el arco está articulado, el movimiento de un punto del arco lo consideraremos compuesto de dos, uno d debido a la deformación del arco, suponiendo que no gira la articulación de la izquierda, y otro d' suponiendo que el arco gira lo debido alrededor de ésta, la superposición de estos dos movimientos, nos da el movimiento definitivo.

La condición de que la clave se ha de mover según la vertical (simetría de cargas y del arco) nos da el giro de la articulación, debido a esto, y como la articulación de la clave está en la cabeza superior de la cimbra, nos conviene hallar los movimientos de dicha cabeza (luego pasaremos a los movimientos en la directriz).

1º) Movimiento

Este movimiento es debido a las variaciones de longitud de la cabeza y diagonales de la cimbra, suponiendo que

no gira la articulación de la izquierda. En el capítulo de las deformaciones están los acortamientos δ_1 y δ_2 de las cabezas y en el capítulo de esfuerzos normales los valores Q de los esfuerzos cortantes que producen la deformación de las diagonales.



Suponemos que no gira la sección del arranque izquierdo (fig. 1). Sean dos secciones a y b distantes ds, (ds la medimos sobre la cabeza superior).

Después de la deformación la sección b tomará la posición b' (suponiendo que solo se acortan las cabezas)

Siendo:

$$BB' = \delta_1 ds \quad " \quad B_1 B'_1 = \delta_2 ds$$

δ_1 y δ_2 representan los acortamientos por unidad de las cabezas al no ser $\delta_1 = \delta_2$ habría un giro de la sección b, que vale $\theta_b ds = \frac{\delta_2 - \delta_1}{h} ds$ siendo h la distancia entre cabezas.

Si llamamos δ y las coordenadas de P respecto al elemento considerado, la deformación vertical d δ y y la horizontal d δ del punto P, debido al giro $\theta_b ds$ valen:

$$d\delta_y = \infty \theta_b ds \quad d\delta_x = y \theta_b ds$$

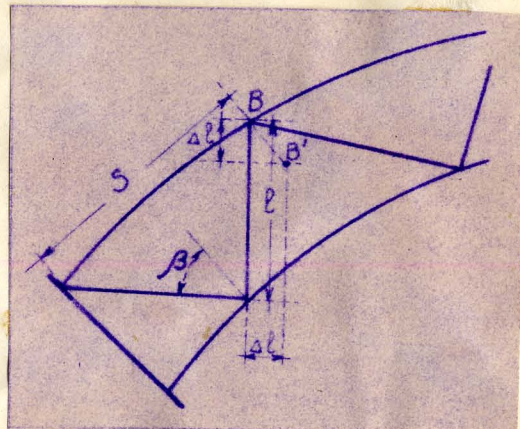
Al acortarse el elemento AB en $\delta_1 ds$ arrastra al punto P produciéndose otro desplazamiento vertical $d\delta''_y$ y otro horizontal $d\delta''_\infty$ que valen:

$$d\delta''_y = \delta_1 ds \sin \varphi, \quad d\delta''_\infty = \delta_1 ds \cos \varphi$$

El desplazamiento de P al acortar solo las cabezas en el elemento ds será la suma de $d\delta'_y$ y $d\delta''_y$ en vertical y de $d\delta'_\infty$ y $d\delta''_\infty$ en horizontal.

Supongamos ahora, que solo actúan los esfuerzos cortantes

Q.



En un recuadro de longitud S suponemos que Q_1 es el esfuerzo cortante. Los esfuerzos en las dos diagonales serán:

$$+ \frac{Q_1}{\cos \beta} \text{ y } - \frac{Q_1}{\cos \beta}$$

si E y omega son el coeficiente de elasticidad y la sección de una diagonal, la variación de longitud vale:

$$\Delta l = + \frac{Q_1}{E \omega \cos \beta} \times l \quad \Delta - \frac{Q_1}{E \omega \cos \beta} \times l$$

y el punto B viene a B', siendo de la figura $B B' = \Delta = 2 \times \Delta l \times \cos \beta$ y sustituyendo

$$\Delta = 2 \times \frac{Q_1}{E \omega \cos \beta} \times l \cos \beta = \frac{2 Q_1}{E \omega} l$$

El deslizamiento Δ entre dos secciones que distan l vale:

$$\Delta = \frac{2 Q_1}{E \omega} \times \frac{l}{S} = \frac{2 Q_1}{E \omega S} l$$

En nuestro caso:

$$\omega = 0,00366 \text{ m}^2 \quad " \quad \frac{l}{s} = 1,24 \text{ y}$$

$$E = 2 \times 10^7 \text{ Ton/m}^2 \quad \Delta = \frac{Q_1}{\frac{1}{2} \times 2 \times 10^7 \times 0,00366 \times 1,24} = \frac{Q_1}{45,4} \text{ mm/m,}$$

Sustituyendo

(Q_1 en Ton)

En el elemento dS se tiene, $d\Delta = \frac{Q_1}{45,4} ds$ y las componentes en el punto P debido al esfuerzo cortante Q_1 , vale:

$$d\delta'''_y = \frac{Q_1}{45,4} ds \times \cos \varphi \quad d\delta'''_x = \frac{Q_1}{45,4} ds \times \sin \varphi$$

Por lo tanto la deformación total en el punto P vale:

$$\begin{aligned} \delta_y &= \int_0^P \theta_b ds + \int_0^P \delta_1 \sin \varphi ds + \int_0^P \frac{Q_1}{45,4} \cos \varphi ds \\ \delta_x &= \int_0^P \theta_b y ds + \int_0^P \delta_1 \cos \varphi ds + \int_0^P \frac{Q_1}{45,4} \sin \varphi ds \end{aligned} \quad) \quad (I)$$

2º) Movimiento d'

Por medio de lo dicho antes podemos encontrar la deformación horizontal de la clave si no girase la sección de la izquierda, luego el giro de esta sección ha de ser tal que contrarreste este movimiento, si $\delta_{\infty h}$ es este momento el giro en el arranque será $\theta_a = \frac{\delta_{\infty h}}{f}$ siendo f la flecha del arco.

Método de cálculo.-

Empezamos por poner un cuadro deducido del capítulo de las deformaciones, y de los esfuerzos normales, en que conste δ_1 δ_2 , y Q , deducimos en seguida θ_b y $\frac{Q}{45,4}$.

Como estos valores están deducidos solo para cinco secciones, dibujamos a lo largo del arco la ley de variaciones de δ_1 y $\frac{Q}{45,4} = \Delta$, dividimos éste en ocho partes de dS constante y tenemos así un segundo cuadro, en el que para cada una de estas partes se consigna,

$$\delta_1 \quad \theta \quad \frac{Q}{45,4} = \Delta \quad \text{sen } \varphi \quad \cos \varphi$$

Entonces $\int_0^P \theta_b ds$ representa el momento respecto a P de los valores θ llevados según la vertical el funicular de los valores θ será la elástica a ellas debida, después agregaremos en cada punto los valores $\int \delta_1 \text{sen } \varphi ds$ y $\int_{-45,4}^{+1} \cos \varphi ds$ con lo que tendremos la elástica suponiendo que no hay giro.

Lo mismo haremos para los desplazamientos horizontales que nos dará el desplazamiento en clave y por tanto el giro necesario en arranques para contrarrestarlo, con lo que podemos trazar las líneas de clave.

a) Peso propio y núcleo.-

$$S \quad \delta_1 \quad \delta_2 \quad Q \quad \theta \Delta = \frac{Q}{45,4}$$

mm/m mm/m Ton mm/mm

| | | | | | |
|---|--------|--------|------|---------|---------|
| 1 | -0,262 | -0,096 | -3,7 | +0,0378 | -0,0815 |
| 2 | -0,173 | -0,233 | -1,7 | -0,0143 | -0,0374 |
| 3 | -0,150 | -0,233 | +1,1 | -0,0214 | +0,0242 |
| 4 | -0,183 | -0,109 | +0,9 | +0,0193 | +0,0198 |
| 5 | -0,215 | -0,00 | 0,00 | +0,0566 | 0,000 |

Dibujamos las curvas en el plano correspondiente, y deducimos

| Trozo | δ_1 | θ | Δ | $\sin \varphi$ | $\cos \varphi$ | y | $\delta_1 \sin \varphi$ | $\delta_1 \cos \varphi$ | $\Delta \cos \varphi$ | $\Delta \sin \varphi$ | |
|-------|------------|----------|----------|----------------|----------------|-------|-------------------------|-------------------------|-----------------------|-----------------------|--------|
| 1 | -0,0256 | +0,0356 | -0,080 | 0,702 | 0,712 | 4,40 | 4,20 | -2,222 | -2,256 | -0,706 | -0,697 |
| 2 | -0,200 | +0,0060 | -0,056 | 0,645 | 0,761 | 12,80 | 13,50 | +1,599 | -1,888 | -0,528 | -0,447 |
| 3 | -0,164 | -0,0207 | -0,027 | 0,560 | 0,850 | 20,40 | 23,10 | -1,136 | -1,684 | -0,288 | -0,194 |
| 4 | -0,150 | -0,0279 | +0,006 | 0,460 | 0,888 | 26,60 | 33,90 | -0,855 | -1,650 | +0,066 | +0,034 |
| 5 | -0,154 | -0,0161 | +0,029 | 0,350 | 0,937 | 31,30 | 44,90 | -0,668 | -1,787 | +0,338 | +0,126 |
| 6 | -0,170 | +0,0060 | +0,029 | 0,260 | 0,965 | 35,40 | 57,30 | -0,547 | -2,031 | +0,348 | +0,089 |
| 7 | -0,190 | +0,0291 | +0,015 | 0,140 | 0,991 | 37,80 | 69,40 | -0,330 | -2,333 | +0,184 | +0,026 |
| 8 | -0,209 | +0,0520 | +0,003 | 0,060 | 0,996 | 39,00 | 81,80 | -0,155 | -2,580 | +0,037 | +0,002 |

Al dividirse el arco en 8 partes iguales $d_s = 12,39 \text{ m}$
(medido sobre la cabeza superior)

Movimiento horizontal de la clave = $25,4 \text{ m/m}$ hacia la izquierda.

$$\text{Giro en arranques: } \theta_a = \frac{-25,4}{39,200} = -0,0065$$

ya que $f = 39,2 \text{ m.}$

$$\text{Movimiento vertical de la clave} = 0,00065 \times \frac{\lambda}{2} = 0,0065x \\ \times 87600 = 56,9 \text{ m/m.}$$

La línea de cierre dista $56,9 \text{ m/m}$ del eje tomado para dibujar la elástica en el punto que corresponde a la clave.

| b) | s | <u>Roscas 1</u> | | | | |
|----|--------|-----------------|------------|------|----------------|---------------------------|
| | | δ_1 | δ_2 | Q | θ mm/mm | $\Delta = \frac{Q}{45,4}$ |
| 1 | -0,237 | +0,014 | | -0,3 | +0,0572 | -0,0066 |
| 2 | -0,223 | +0,068 | | -1,3 | +0,0693 | -0,0693 |
| 3 | -0,210 | +0,178 | | -8,2 | +0,1001 | -0,1809 |
| 4 | -0,179 | -0,068 | | -1,9 | +0,0290 | -0,0418 |
| 5 | -0,179 | 0,00 | | 0,0 | +0,0470 | 0,00 |

δ_1 , δ_2 , θ y Δ son en realidad incrementos, pues estamos hallando las flechas que produce cada nueva carga que se agrega.

Haciendo como antes se tiene:

| Trozo | δ_1 | θ | Δ | $\cos \varphi$ | $\sin \varphi$ | ρ | $\delta_1 \sin \varphi$ | $\delta_1 \cos \varphi$ | $\delta_1 \cos \varphi$ | $\Delta \sin \varphi$ | $\Delta \cos \varphi$ |
|-------|------------|----------|----------|----------------|----------------|--------|-------------------------|-------------------------|-------------------------|-----------------------|-----------------------|
| 1 | -0,236 | +0,0580 | -0,007 | 0,702 | 0,712 | 4,40 | 4,20 | -2,050 | -2,080 | -0,062 | -0,061 |
| 2 | -0,230 | +0,0635 | -0,018 | 0,645 | 0,761 | 12,80 | 13,50 | -1,840 | -2,167 | -0,170 | -0,144 |
| 3 | -0,224 | +0,0745 | -0,041 | 0,560 | 0,830 | 20,40 | 23,10 | -1,550 | -2,400 | -0,421 | -0,284 |
| 4 | -0,218 | +0,0940 | -0,148 | 0,460 | 0,888 | 26,60 | 33,90 | -1,240 | -2,598 | -1,629 | -0,843 |
| 5 | -0,205 | +0,0990 | -0,160 | 0,350 | 0,937 | 31,30 | 44,90 | -0,890 | -2,381 | -1,859 | -0,693 |
| 6 | -0,186 | +0,0550 | -0,080 | 0,260 | 0,965 | 35,40 | 57,30 | -0,600 | -2,222 | -0,956 | -0,258 |
| 7 | -0,176 | +0,0310 | -0,025 | 0,140 | 0,991 | 37,80 | 69,40 | -0,305 | -2,160 | -0,507 | -0,044 |
| 8 | -0,176 | +0,0435 | -0,004 | 0,060 | 0,995 | 39,00 | 81,80 | -0,131 | -2,170 | -0,050 | -0,003 |

Movimiento horizontal de la clave = 119,5 m/m hacia la izquierda.

$$\text{Giro en arranques} = \frac{-119,5}{39200} = -0,00305$$

Momento relativo vertical de la clave = $0,00305 \times 87600 =$
= 267 mm (hacia abajo).

Roscas 2

| c) | S | δ_1 | δ_2 | Q | θ | $\Delta = \frac{Q}{45,4}$ |
|----|--------|------------|------------|---------|----------|---------------------------|
| 1 | -0,080 | + 0,040 | +8,7 | +0,0270 | + 0,192 | |
| 2 | -0,107 | + 0,086 | -9,5 | +0,0460 | - 0,209 | |
| 3 | -0,075 | -0,084 | -0,6 | -0,0024 | - 0,013 | |
| 4 | -0,090 | -0,022 | -5,8 | +0,0178 | -0, 128 | |
| 5 | -0,086 | 0,00 | 0,0 | +0,0225 | 0, 000 | |

Haciendo lo mismo que antes se tiene:

| Prozo | θ | δ | Δ | $\sin \varphi$ | $\delta_{1 \text{sen } \varphi}$ | $\delta_{1 \cos \varphi}$ | $\delta_{\text{sen } \varphi}$ | $\delta_{\cos \varphi}$ |
|-------|----------|----------|----------|----------------|----------------------------------|---------------------------|--------------------------------|-------------------------|
| 1 | +0,0289 | -0,082 | +0,160 | 0,702 | 0,712 | -0,715 | -0,725 | +1,590 |
| 2 | +0,0421 | -0,100 | -0,106 | 0,645 | 0,761 | -0,800 | -0,943 | -0,846 |
| 3 | +0,0424 | -0,104 | -0,210 | 0,560 | 0,830 | -0,722 | -1,070 | -1,453 |
| 4 | +0,0212 | -0,084 | -0,105 | 0,460 | 0,888 | -0,479 | -0,925 | -0,599 |
| 5 | -0,0034 | -0,075 | +0,025 | 0,350 | 0,937 | -0,525 | -0,870 | +0,108 |
| 6 | +0,0083 | -0,086 | -0,073 | 0,260 | 0,965 | -0,277 | -1,028 | -0,235 |
| 7 | -0,0210 | -0,090 | -0,121 | 0,140 | 0,991 | -0,156 | -1,103 | -0,210 |
| 8 | -0,0226 | -0,088 | -0,035 | 0,060 | 0,996 | -0,065 | -1,087 | -0,026 |

Desplazamiento horizontal relativo en clave = 49,3 m/m
hacia la izquierda.

$$\text{Giro en arranques } \theta_a = \frac{49,3}{39200} = - 0,00126$$

Desplazamiento vertical relativo en clave: $0,00126 \times 87600 =$
110 m/m hacia abajo.

d) Enclavamiento:

| S | δ_1 | δ_2 | Q | θ | $\Delta = \frac{Q}{45,4}$ |
|---|------------|------------|------|----------|---------------------------|
| 1 | +0,038 | -0,034 | +1,9 | -0,0166 | + 0,0418 |
| 2 | +0,059 | -0,055 | +1,5 | -0,0270 | + 0,0330 |
| 3 | +0,052 | -0,057 | +1,0 | -0,0281 | + 0,0220 |
| 4 | +0,075 | -0,083 | +0,4 | -0,0413 | + 0,0088 |
| 5 | +0,067 | -0,087 | 0 | -0,0401 | 0,000 |

Haciendo como siempre:

| Trozo | θ | δ | Δ | $\sin \varphi$ | $\cos \varphi$ | $\delta \sin \varphi$ | $\delta \cos \varphi$ | $\delta \sin \varphi_{ds}$ | $\delta \cos \varphi_{ds}$ | $\Delta \sin \varphi_{ds}$ | $\Delta \cos \varphi_{ds}$ |
|-------|----------|----------|----------|----------------|----------------|-----------------------|-----------------------|----------------------------|----------------------------|----------------------------|----------------------------|
| 1 | -0,0176 | +0,0,40 | +0,041 | 0702 | 0,712 | +0,348 | +0,533 | +0,356 | +0,361 | | |
| 2 | -0,0251 | +0,054 | +0,036 | 0,645 | 0,761 | +0,432 | +0,510 | +0,288 | +0,339 | | |
| 3 | -0,0265 | +0,059 | +0,031 | 0,560 | 0,830 | +0,409 | +0,606 | +0,215 | +0,318 | | |
| 4 | -0,0250 | +0,053 | +0,025 | 0,460 | 0,888 | +0,302 | +0,584 | +0,143 | +0,275 | | |
| 5 | -0,0312 | +0,053 | +0,020 | 0,350 | 0,937 | +0,230 | +0,615 | +0,087 | +0,252 | | |
| 6 | -0,0406 | +0,069 | +0,013 | 0,260 | 0,965 | +0,222 | +0,825 | +0,042 | +0,155 | | |
| 7 | -0,0410 | +0,076 | +0,006 | 0,140 | 0,991 | +0,132 | +0,935 | +0,010 | +0,073 | | |
| 8 | -0,0403 | +0,071 | +0,001 | 0,060 | 0,996 | +0,053 | +0,976 | +0,001 | +0,012 | | |

Desplazamiento relativo horizontal en clave = 39,8 m/m. hacia la derecha.

$$\text{Giro en arranques} = \theta_a = \frac{+39,800}{39200} = +0,00101$$

Desplazamiento relativo vertical en clave = 0,00101x87600 =
= 89 mm/m. hacia arriba.

CORRIMIENTOS HORIZONTALES Y VERTICALES DE
LOS PUNTOS DE LA DIRECTRIZ CUANDO SE HAN
ENCLAVADO LAS ARTICULACIONES.

CORRIMIENTOS EN EL ARCO EMPOTRADO.-

En este caso las fórmulas I (pág. 4) nos darán los corrimientos.

Nos conviene hallar los de la directriz, ya que nada aconseja tomar los de la cabeza superior ni inferior.

Si aplicásemos las fórmulas I como hemos dicho, veríamos que $\sum \theta \neq 0$ y también que la clave sufriría un desplazamiento horizontal, lo cual no es compatible con la simetría de cargas y arco.

Esto es debido a no haberse tenido en cuenta los valores de los giros y desplazamientos que se producen al deformarse el arco plásticamente y a la deformación por el esfuerzo cortante que es apreciable, ya que como lo absorben las diagonales y éstas trabajan con coeficientes bastante altos, la deformación es comparable a las producidas por otras causas.

Por todo ello antes de aplicar las fórmulas I, aplicaremos la corrección que se indica a continuación.

Corrección debida a no haberse tenido en cuenta los θ , constantes ni las deformaciones plásticas.

Las cargas que actúan sobre el arco son simétricas, basta pues con que estudiemos medio arco, ya que sabemos que la clave no ha de girar ni desplazarse a derechear a

izquierda.

Desplazamiento lateral en clave debido a una serie de giros θ .

$\delta' = - \int \theta y \, ds$ " siendo y la ordenada respecto a la clave de la sección que gira θ .

Desplazamiento lateral en clave debido a las variaciones de longitud δ de la directriz.

$\delta'' = - \int \delta \cos \varphi \, ds$ " siendo φ el ángulo de la directriz con la horizontal.

Desplazamiento lateral debido a un deslizamiento Δ_a en sentido normal a la directriz.

$$\delta''' = - \int \Delta_a \, \operatorname{sen} \varphi \, ds$$

$$\text{En Total: } \Delta = \delta' + \delta'' + \delta''' = - \int \theta y \, ds - \int \delta \cos \varphi \, ds - \int \Delta_a \, \operatorname{sen} \varphi \, ds. \quad (1)$$

$$\text{Giro en la clave} \quad \Phi = \int \theta \, ds$$

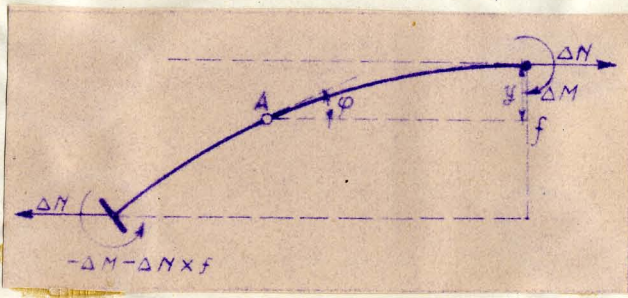
Si se hubiesen tenido en cuenta todos los efectos, no cabe duda que $\begin{cases} \Delta = 0 \\ \Phi = 0 \end{cases}$

Pero como no se han tenido en cuenta, esto no ocurre, lo cual nos indica que se produce un incremento en las reacciones, y por lo tanto también en las deformaciones.

Estos incrementos en las deformaciones serán debidos a los incrementos de las reacciones, ahora bien, la reacción vertical no varía por simetría, solo se incrementan pues el momento y la reacción horizontal.

En clave habrá pues un incremento de momento ΔM y un incremento del esfuerzo normal ΔN . Determinemos sus

efectos en giros alargamientos y deslizamientos en las distintas secciones.



En un punto A el momento vale: $m = - \Delta M + Hy$
(y se cuenta negativa hacia abajo).

El esfuerzo normal "N" =
 $= \Delta N \cos \varphi$.

El esfuerzo cortante Q =
 $= \Delta N \operatorname{sen} \varphi$.

El giro $\Delta\theta$ que se produce en la sección A vale:

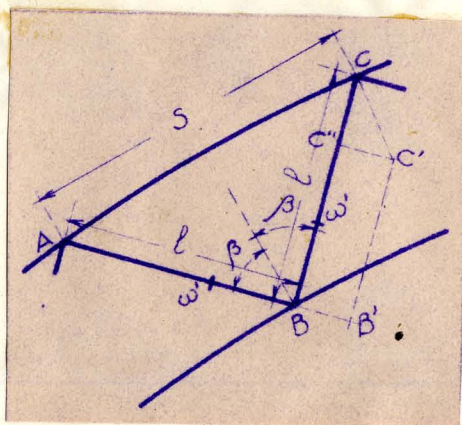
$$\Delta\theta = \frac{m}{E I} = - \frac{\Delta M}{E I} + \frac{\Delta N y}{E I}$$

El alargamiento $\Delta\delta$ en la misma, es $\Delta\delta = \frac{\Delta N \cos \varphi}{E \omega}$

El deslizamiento $\Delta\Delta$ en la misma, se obtiene como sigue.

Si la sección fuera de alma llena, éste sería despreciable, pero al estar formado por diagonales que trabajan con carga elevada, este es grande.

Sea un recuadro con las dimensiones indicadas en la figura.



Sea Q el esfuerzo cortante en dicho recuadro.

El esfuerzo en las diagonales es $F = \pm \frac{Q}{\cos \varphi}$
Para $Q > 0$, AB se alarga

y BC se acorta " siendo

$$BB' = \frac{Q}{\cos \beta} x \frac{l}{E' \omega'} \quad " \quad CC'' = \frac{Q}{\cos \beta} \frac{l}{E' \omega'}$$

$$\text{Por tanto: } CC' = 2 \frac{Q}{\cos \beta} \frac{l}{E' \omega'}, \quad \cos \beta = 2 \frac{Q x l}{E' \omega'}$$

Este es el deslizamiento en la longitud S por tanto

$$\Delta = 2 \frac{Q x l}{E' \omega' s} \quad y$$

$$\text{el deslizamiento } \underline{\Delta \Delta} \quad \text{es} \quad \Delta \Delta = 2 \frac{\Delta N x \sin \varphi x l}{E' \omega' s}$$

El giro $\dot{\Phi}$ y el desplazamiento Δ' en clave debido a estos incrementos de giros alargamientos y deslizamientos valen:

$$\dot{\Phi}' = \int_0^{\frac{l}{2}} \Delta \theta \ ds = - \frac{\Delta M}{E_c I_c} \int_0^{\frac{l}{2}} \frac{E_c I_c}{E I} ds + \frac{\Delta N}{E_c I_c}$$

$$\int_0^{\frac{l}{2}} \frac{E_c I_c}{E I} y \ ds \quad "$$

Siendo $E_c I_c$ el valor en clave del producto del momento de inercia por el coeficiente de elasticidad.

$$\begin{aligned} \Delta' = & - \int_0^{\frac{l}{2}} \Delta \theta \ y \ ds - \int \Delta \delta \ \cos \varphi \ ds - \int \Delta \Delta \ \sin \varphi \ ds = + \\ & + \frac{\Delta M}{E_c I_c} \int_0^{\frac{l}{2}} \frac{E_c I_c}{E I} \ y \ ds - \int \frac{\Delta N}{E_c I_c} \int_0^{\frac{l}{2}} \frac{E_c I_c}{E I} \ y^2 \ ds \end{aligned}$$

$$\frac{\Delta N}{E_c I_c} \int_0^{\frac{l}{2}} \frac{E_c I_c}{E \omega} \cos^2 \varphi ds = \frac{2 \Delta N}{E_c I_c} \int_0^{\frac{l}{2}} \frac{E_c I_c}{E' \omega'} \times \frac{S}{l} \sin^2 \varphi ds$$

$$\text{Si hacemos } \frac{E_c I_c}{E I} = r \quad , \quad \frac{E_c I_c}{E \omega} = r' \quad , \quad \frac{E_c I_c}{E' \omega' S} = r''$$

se hace

$$\Phi' = - \frac{\Delta M}{E_c I_c} \int_0^{\frac{l}{2}} r ds + \frac{\Delta N}{E_c I_c} \int_0^{\frac{l}{2}} r' y ds \quad (2)$$

$$\left\{ \begin{array}{l} \Delta' = + \frac{\Delta M}{E_c I_c} \int_0^{\frac{l}{2}} ry ds - \frac{\Delta N}{E_c I_c} \int_0^{\frac{l}{2}} ry^2 ds = \frac{\Delta N}{E_c I_c} \int_0^{\frac{l}{2}} r' \cos^2 \varphi ds - \\ \frac{2 \Delta N}{E_c I_c} \int_0^{\frac{l}{2}} r'' \sin^2 \varphi ds \end{array} \right.$$

Los incrementos de M y N han de ser tales que $(\Phi + \Phi') = 0$
 $(\Delta + \Delta') = 0$

Luego poniendo sus valores de las ecuaciones (1) y (2), tenemos:

$$\left\{ \begin{array}{l} \int \theta ds - \frac{\Delta M}{E_c I_c} \int_0^{\frac{l}{2}} r ds + \frac{\Delta N}{E_c I_c} \int_0^{\frac{l}{2}} ry ds = 0 \\ - \int \theta y ds - \int \delta \cos \varphi ds - \int \Delta \sin \varphi ds + \frac{\Delta M}{E_c I_c} \int_0^{\frac{l}{2}} ry ds - \\ \frac{\Delta N}{E_c I_c} \int_0^{\frac{l}{2}} ry^2 ds - \frac{\Delta N}{E_c I_c} \int_0^{\frac{l}{2}} \cos^2 \varphi ds - \frac{2 \Delta N}{E_c I_c} \int_0^{\frac{l}{2}} r'' \sin^2 \varphi ds = 0 \end{array} \right.$$

Para resolver estas ecuaciones, vamos a trasladar el origen al centro de gravedad elástico del arco. Si a es la ordenada de la clave respecto a él y llamamos y a las ordenadas del arco respecto a los nuevos ejes, se tiene $y = y_o - a$, y sus

tituyendo

$$\left\{ \begin{array}{l} \int_0^{\frac{l}{2}} \theta ds - \frac{\Delta M}{E_c I_c} \int_0^{\frac{l}{2}} r ds + \frac{\Delta N}{E_c I_c} \int_0^{\frac{l}{2}} r y_o ds = \\ - \frac{a \Delta N}{E_c I_c} \int_0^{\frac{l}{2}} r ds = 0 \\ - \int_0^{\frac{l}{2}} \theta y_o ds + a \int_0^{\frac{l}{2}} \theta ds - \int_0^{\frac{l}{2}} \delta \cos \varphi ds - \int_0^{\frac{l}{2}} \Delta \sin \varphi ds + \\ \frac{\Delta M}{E_c I_c} \int_0^{\frac{l}{2}} r y_o ds - \frac{a \Delta M}{E_c I_c} \int_0^{\frac{l}{2}} r ds = \\ - \frac{\Delta N}{E_c I_c} \int_0^{\frac{l}{2}} r y_o^2 ds - a^2 \frac{\Delta N}{E_c I_c} \int_0^{\frac{l}{2}} r ds + 2 a \frac{\Delta N}{E_c I_c} \int_0^{\frac{l}{2}} y_o r ds - \\ - \frac{\Delta N}{E_c I_c} \int_0^{\frac{l}{2}} r' \cos^2 \varphi ds - \frac{2 \Delta N}{E_c I_c} \int_0^{\frac{l}{2}} r'' \sin^2 \varphi ds = 0 \end{array} \right.$$

Pero $\int r y_o ds = 0$ y reduciendo queda:

$$\left\{ \begin{array}{l} \int_0^{\frac{l}{2}} \theta ds - \frac{\Delta M}{E_c I_c} \int_0^{\frac{l}{2}} r ds - a \frac{\Delta N}{E_c I_c} \int_0^{\frac{l}{2}} r ds = 0 \\ - \int_0^{\frac{l}{2}} \theta y_o ds + a \int_0^{\frac{l}{2}} \theta ds - \int_0^{\frac{l}{2}} \delta \cos \varphi ds - \int_0^{\frac{l}{2}} \Delta \sin \varphi ds - a \frac{\Delta M}{E_c I_c} \int_0^{\frac{l}{2}} r ds = \\ \int_0^{\frac{l}{2}} r ds - \frac{\Delta N}{E_c I_c} \int_0^{\frac{l}{2}} r y_o^2 ds - \\ - a^2 \frac{\Delta N}{E_c I_c} \int_0^{\frac{l}{2}} r ds - \frac{\Delta M}{E_c I_c} \int_0^{\frac{l}{2}} r \cos^2 \varphi ds - \frac{2 \Delta N}{E_c I_c} \int_0^{\frac{l}{2}} r'' \sin^2 \varphi ds = 0 \end{array} \right.$$

De la lauecuación se obtiene $\frac{\Delta M}{E_c I_c} \int r ds = \int \theta ds - a$

- $a \frac{\Delta N}{E_c I_c} \int r ds$ " y sustituyendo a la otra.

- $\int \theta y_0 ds - \int \delta \cos \varphi ds - \int \Delta \sin \varphi ds - \frac{\Delta N}{E_c I_c} ry^2 ds$

- $\frac{\Delta N}{E_c I_c} \int r' \cos^2 \varphi ds - \frac{2 \Delta N}{E_c I_c} \int r'' \sin^2 \varphi ds = 0$

de donde:

$$\frac{\Delta N}{E_c I_c} = \frac{-\int \theta y_0 ds - \int \delta \cos \varphi ds - \int \Delta \sin \varphi ds}{\int ry_0^2 ds + \int r' \cos^2 \varphi ds + 2 \int r'' \sin^2 \varphi ds} ,$$

y por tanto:

$$\frac{\Delta M}{E_c I_c} = \frac{\int \theta ds}{rds} + a \frac{\int \theta y_0 ds + \int \delta \cos \varphi ds + \int \Delta \sin \varphi ds}{\int ry_0^2 ds + \int r' \cos^2 \varphi ds + 2 \int r'' \sin^2 \varphi ds}$$

Sustituyendo ΔN y ΔM en los valores que dan $\Delta \theta$, $\Delta \delta$ y ΔQ
(P^m 2) se obtiene:

$$\Delta \theta = - \frac{\Delta M}{E I} + \frac{\Delta N y}{E I} = - \frac{\Delta M}{E_c I_c} x r + \frac{\Delta N}{E_c I_c} ry \text{ ó sea:}$$

$$\Delta \theta = - r \frac{\int \theta ds}{\int rds} - \frac{\int \theta y_0 ds + \int \delta \cos \varphi ds + \int \Delta \sin \varphi ds}{\int ry_0^2 ds + \int r' \cos^2 \varphi ds + 2 \int r'' \sin^2 \varphi ds} r$$

$$- ry \frac{\int y_0 ds + \int \delta \cos \varphi ds + \int \Delta \sin \varphi ds}{\int ry_0^2 ds + \int r' \cos^2 \varphi ds + 2 \int r'' \sin^2 \varphi ds}$$

pero $a + y = y_0$ " luego

$$\left. \begin{aligned} \Delta\theta &= -\frac{\int_0^\theta ds}{\frac{1}{r} \int r ds} - \frac{\int_0^\theta y_0 ds + \int \delta \cos \varphi ds + \int \Delta \sin \varphi ds}{\frac{1}{r y_0} (\int r y_0^2 ds + \int r' \cos^2 \varphi ds + 2 \int r'' \sin^2 \varphi ds)} \\ \Delta\delta &= \frac{\Delta N}{E \omega} \cos \varphi = \frac{\Delta N}{E_c I_c} r' \cos \varphi = \\ &= \frac{-\int_0^\theta y_0 ds - \int \delta \cos \varphi ds - \int \Delta \sin \varphi ds}{\frac{1}{r' \cos \varphi} (\int r y_0^2 ds + \int r' \cos^2 \varphi ds + 2 \int r'' \sin^2 \varphi ds)} \\ \Delta\Delta &= 2 \frac{\Delta N}{E \omega \frac{s}{l}} \sin \varphi = 2 \frac{\Delta N}{E_c I_c} \times r'' \sin \varphi = \\ &= \frac{-\int_0^\theta y_0 ds - \int \delta \cos \varphi ds - \int \Delta \sin \varphi ds}{\frac{1}{2 r'' \sin \varphi} (\int r y_0^2 ds + \int r' \cos^2 \varphi ds + 2 \int r'' \sin^2 \varphi ds)} \end{aligned} \right\}$$

METODO DE CALCULO DE LAS CORRECCIONES.-

Dividimos el arco en ocho partes en que ds es constante en cada trozo, θ , $\Delta\theta$, δ , $\Delta\delta$, Δ , $\Delta\Delta$, r , r' y $r'' \sin \varphi \cos \varphi$ e y.

Calculamos para cada caso, el valor de estos parámetros que sustituídos en las ecuaciones de corrección nos darán el valor de los numeradores res y denominador res para cada caso con lo que se puede hallar la corrección en cada sección.

Llamamos: $A = \int r ds$ " $B = \int r y_0^2 ds + \int r' \cos^2 \varphi ds + 2 \int r'' \sin^2 \varphi ds$ " $C = \int_0^\theta y_0 ds + \int \delta \cos \varphi ds + \int \Delta \sin \varphi ds$ " $D = \int \theta ds$ " entonces:

$$\Delta\theta = - \frac{D}{A} r - \frac{C}{B} ry \quad " \quad \text{Calcularemos, pues en cada caso}$$

$$A, B, C, D, r, ry, r' \cos \varphi \quad \text{y} \quad r'' \sin \varphi.$$

$$\Delta\delta = - \frac{C}{B} r' \cos \varphi$$

$$E'\omega' = 2 \times 10^7 \times 0,00366 = 7,32 \times 10^4 \text{ mTon.}$$

$$\Delta\Delta = - \frac{C}{B} r'' \sin \varphi.$$

Valores de las constantes.-

$$r'' \quad r' \quad \text{y} \quad r''$$

$$\text{Sabemos (pág.) que} \quad r = \frac{E_c I_c}{E I} \quad " \quad r' = \frac{E_c I_c}{E \omega} \quad " \quad r'' =$$

$$= \frac{E_c I_c}{E \omega' S} \quad "$$

Para las cinco secciones que se estudian hemos encontrado en el capítulo de deformaciones los valores de $E I$ y de $E \omega$, en los distintos momentos de la construcción.

Hemos visto y justificado que $\frac{E_c I_c}{EI} = r$ varía poco de unos momentos a otros, y podemos admitir también que $\frac{E_c I_c}{E I}$ permanece constante de unos momentos a otros ya que su influencia en el denominador es muy pequeña (del orden del 5%).

En un momento de construcción dado el denominador de r'' es constante para todas las secciones (ya que $\frac{S}{l} = 1,24$, pues el ángulo de dos diagonales es prácticamente constante valiendo 0,62 el seno de su mitad y por lo tanto $S = 2 \sin \frac{\beta}{2} = 1,24 l$), el numerador $E_c I_c$

es constante para todas las secciones en un momento dado luego a cada momento r'' es constante a todo lo largo del arco y su valor es

$$r'' = \frac{E_c I_c}{2 \times 10^7 \times 0,00366 \times 1,24} = \frac{E_c I_c}{9,08 \times 10^4}$$

Tomando los valores de EI y $E\omega$ de los capítulos antes citados resulta el siguiente cuadro:

| Sección | r | r' |
|---------|-------|---------------------|
| 1 | 0,45 | 1,77 m ² |
| 2 | 0,677 | 2,34 " |
| 3 | 0,910 | 3,01 " |
| 4 | 0,970 | 3,61 " |
| 5 | 1,000 | 3,64 " |

Y el valor de r'' constante para las cinco secciones, vale para los sucesivos momentos de hormigonado:

| Momento | e | f | g | h |
|---------|-----|-----|-----|--------------------|
| r'' | 153 | 250 | 290 | 483 m ² |

Para averiguar los valores de r y r' que corresponde a cada una de las ocho partes en que el arco se ha dividido se han dibujado las curvas valiéndonos del cuadro anterior en el plano N° 5 " los valores obtenidos de estas curvas se indican en la página siguiente (caso e) y sirven también para todos los casos.

Sea δ_N el acortamiento de la directriz debido a la compresión que se deduce del capítulo de deformaciones,

Si el giro en una sección debido al momento que se deduce del mismo sitio, sea θ_p el giro debido a los acortamientos lentos de las cabezas que vale en función de estos

$$\theta_p = \frac{\delta'_p - \delta''_p}{h}$$

en donde h es la distancia entre cabezas y δ'_p y δ''_p los acortamientos de estos.

El acortamiento de la directriz debido a la deformación lenta, vale:

$\delta_p = \delta'_{2p} - \theta_p h$ siendo δ'_{2p} el acortamiento de la cabeza inferior, y h la distancia de ésta a la directriz.

Tomando como origen el instante de enclavar, resultan los siguientes valores:

Totales

| θ_M | δ_N | θ_p | δ'_{2p} | δ_p | $\theta_{mm/mxq}$ | $\delta_{mm/m}$ |
|------------|------------|------------|----------------|------------|-------------------|------------------|
| +0,00120 | -0,0468 | -0,00020 | -0,0030 | 1,80 | -0,0026 | +0,00100 -0,0494 |
| -0,00008 | -0,0560 | -0,00020 | -0,0050 | 1,46 | -0,0027 | -0,00028 -0,0587 |
| -0,00142 | -0,0612 | -0,00130 | -0,0050 | 1,56 | -0,0030 | -0,00272 -0,8622 |
| -0,00100 | -0,0694 | -0,00170 | -0,0067 | 2,01 | -0,0033 | -0,00270 -0,0727 |
| +0,00094 | -0,0690 | -0,00180 | -0,0067 | 2,00 | -0,0031 | -0,00086 -0,0721 |

Roscas 3

$$\int ry_o^2 ds = 12,17 \times 692 = 8435 \text{ m}^3 \quad \int r' \cos^2 \varphi ds = 12,17 \times 18,957 = \\ = 231 \text{ m}^3 \quad 2 \int r'' \sin^2 \varphi ds = 12,17 \times 2 \times 1,648 \times 153 = 6150 \text{ m}^3 \\ \int r ds = 12,17 \times 637 = 77,6 \text{ m}$$

| Trozo | θ mm/m ² | δ mm/m | Δ mm/m | y_o | $\cos \varphi$ | $\sin \varphi$ | θy_o | $\delta \cos \varphi$ | $\Delta \sin \varphi$ |
|-------|----------------------------|---------------|---------------|--------|----------------|----------------|----------------|-----------------------|-----------------------|
| 1 | +0,00108 | -0,0500 | +0,118 | -24,25 | 0,712 | 0,702 | -0,0262 | -0,0306 | +0,0830 |
| 2 | +0,00045 | -0,0548 | +0,035 | -16,00 | 0,761 | 0,645 | -0,0072 | -0,0416 | +0,0226 |
| 3 | -0,00050 | -0,0593 | -0,045 | -8,60 | 0,830 | 0,560 | +0,0043 | -0,0492 | -0,0252 |
| 4 | -0,00188 | -0,0630 | -0,121 | -2,15 | 0,888 | 0,460 | +0,0041 | -0,0559 | -0,0557 |
| 5 | -0,00283 | -0,0652 | -0,158 | +2,90 | 0,937 | 0,350 | -0,0082 | -0,0610 | -0,0553 |
| 6 | -0,00302 | -0,0693 | -0,100 | +6,50 | 0,965 | 0,250 | -0,0196 | -0,0668 | -0,0260 |
| 7 | -0,00255 | -0,0726 | -0,009 | +9,05 | 0,991 | 0,140 | -0,0231 | -0,0720 | -0,0112 |
| 8 | <u>-0,00138</u> | -0,0729 | -0,002 | +10,10 | 0,996 | 0,060 | <u>-0,0139</u> | <u>-0,0725</u> | <u>-0,0001</u> |
| | | | | | | | -0,0898 | -0,4496 | -0,0579 |
| | | | | | | | | | |
| | | | | | | | | | |

$$\int \theta y_o ds = -12,17 \times 0,0898 = \int \delta \cos \varphi ds = -0,4496 \times 12,17 = " \\ \int \Delta \sin \varphi ds = -0,0579 \times 12,17 = -0,705 \text{ m/m} \\ = 1,09 \text{ m/m} \quad = 5,48 \text{ m/m}$$

$$\int \theta ds = -0,129$$

$$\Delta \theta = \frac{+0,128}{77,6} r + \frac{1,09 + 5,48 + 0,705}{8435 + 231 + 6150} ry_o = +0,00167 + 0,000491 ry_o$$

$$\Delta \delta = +0,000491 r' \cos \varphi \quad " \quad = +0,000491 \times 2 r'' \sin \varphi$$

| Trozo | $0,00167 r$ | $0,000491 ry_o$ | $\Delta \theta$ | $0,000491 r' \cos \varphi = \Delta \delta$ | $0,000491 \times 2 r'' \sin \varphi = \Delta \Delta$ | θ | δ | Δ | Valores corregidos |
|-------|-----------------|-----------------|-----------------|--|--|----------|----------|----------|--------------------|
| 1 | +0,00075 | -0,00535 | -0,00460 | +0,0006 | +0,105 | -0,00352 | -0,0494 | +0,229 | |
| 2 | +0,0093 | -0,00440 | -0,00347 | +0,0002 | +0,097 | -0,00302 | -0,0540 | +0,132 | |
| 3 | +0,00117 | -0,00295 | -0,00178 | +0,0009 | +0,084 | -0,00228 | -0,0584 | +0,039 | |
| 4 | <u>+0,00137</u> | -0,00087 | +0,00050 | +0,0012 | +0,069 | -0,00138 | -0,0628 | -0,052 | |
| 5 | +0,00153 | +0,00130 | +0,00283 | +0,0014 | +0,053 | 0,000 | -0,0638 | -0,105 | |

(sigue)

6 +0,00159+0,00303+0,00462+0,0016+0,039+0,00160-0,0677-0,061
 7 +0,00162+0,00430+0,00592+0,0017+0,021+0,00337-0,0709+0,012
 8 +0,00167+0,00496+0,00663+0,0018+0,009+0,00525-0,0711+0,007

Dibujo de la elástica. - Para averiguar los corrimientos debidos a θds trazaremos el funicular correspondiente a θ elástica agregaremos en cada punto $\sum \delta \sin \varphi ds$ y $\sum \Delta \cos \varphi ds$ para los corrimientos verticales, y $\sum \delta \cos \varphi ds$, $\sum \Delta \sin \varphi ds$ para los horizontales.

| Trozo | θ | $\sum \theta \sum \delta \sin \varphi ds$ | $\sum \theta \sum \cos \varphi ds$ | $\sum \Delta \sin \varphi ds$ | $\sum \Delta \cos \varphi ds$ | \sum |
|-------|--|---|------------------------------------|-------------------------------|-------------------------------|--------|
| 1 | -0,00352-0,00352-0,421-0,421-0,429-0,429+1,960+1,960+1,989+1,989 | | | | | |
| 2 | -0,00302-0,00654-0,424-0,845-0,501-0,930+1,035+2,995+1,224+3,213 | | | | | |
| 3 | -0,00228-0,00882-0,398-1,243-0,589-1,519+0,256+3,251+0,395+3,608 | | | | | |
| 4 | -0,00138-0,01020-0,351-1,594-0,677-2,196-0,292+2,959-0,563+3,045 | | | | | |
| 5 | 0,000 -0,01022-0,272-1,866-0,728-2,924-0,449+2,510-1,200+1,845 | | | | | |
| 6 | +0,00337-0,00525-0,121-2,201-0,855-4,575+0,021+2,316+0,717+1,128 | | | | | |
| 7 | +0,00337-0,00525-0,121-2,201-0,855-4,575+0,021+2,337+0,145+1,273 | | | | | |
| 8 | +0,00525 0,000 -0,054-2,255-0,862-5,437+0,004+2,341+0,085+1,358 | | | | | |

f) Roscas 4.

$$\theta_M \quad \delta_N \quad \theta_p \quad \delta_{2p} \quad \delta_p \quad \Delta Q \quad \theta \quad \delta \Delta = \frac{\Delta Q}{45,4}$$

+0,00130-0,0224+0,00070-0,0060 1,14-0,0068-3,6+0,00200-0,0292-0,079
 -0,00077-0,0275+0,00080-0,0059 0,97-0,0067-1,3+0,00003-0,0342-0,029
 -0,00140-0,0301+0,0000-0,0084 1,01-0,0084+4,7-0,00140-0,0385+0,104
 +0,00050-0,0306+0,00030-0,0085 1,19-0,0089-5,5+0,00080-0,0395-0,121
 -0,00088-0,0305+0,00020-0,0085 1,18-0,0087 0,0-0,00068-0,0392 0,000

| Trozo | θ | δ | Δ | y_o | $\cos \varphi$ | $\sin \varphi$ | y_o | $\delta \cos \varphi$ | $\Delta \sin \varphi$ | |
|-------|-----------------|----------|----------|--------|----------------|----------------|----------------|-----------------------|-----------------------|--------|
| 1 | +0,00196 | -0,0293 | -0,078 | -24,25 | 0,712 | 0,702 | -0,0475 | -0,0208 | -0,055 | |
| 2 | +0,00090 | -0,0319 | -0,062 | -16,00 | 0,761 | 0,645 | -0,0144 | -0,0242 | -0,040 | |
| 3 | -0,00020 | -0,0347 | -0,019 | -8,60 | 0,830 | 0,560 | +0,0017 | -0,0288 | -0,011 | |
| 4 | -0,00125 | -0,0370 | +0,059 | -2,15 | 0,888 | 0,460 | +0,0027 | -0,0328 | +0,027 | |
| 5 | -0,00127 | -0,0385 | +0,102 | -2,90 | 0,937 | 0,350 | -0,0037 | -0,0362 | +0,036 | |
| 6 | +0,00029 | -0,0392 | +0,009 | -6,50 | 0,965 | 0,260 | +0,0019 | -0,0378 | +0,002 | |
| 7 | +0,00063 | -0,0393 | -0,138 | -9,05 | 0,991 | 0,140 | +0,0057 | -0,0390 | -0,019 | |
| 8 | <u>-0,00045</u> | -0,0392 | -0,069 | +10,10 | 0,996 | 0,060 | <u>-0,0045</u> | <u>-0,0390</u> | <u>-0,004</u> | |
| | | | | | | | +0,00061 | -0,0581 | -0,2586 | -0,064 |

$$\int \theta \, ds = + 0,00061x12,17 \quad " \quad \int \theta y_o \, ds = - 0,0581x12,17 \quad "$$

$$\int \delta \cos \varphi \, ds = - 0,2586x12,17 \quad " \quad \int \Delta \sin \varphi \, ds = - 0,064x12,17 \quad "$$

$$\int r \, ds = 6,37x12,17 \quad " \quad \int r y_o^2 \, ds = 692x12,17$$

$$\int r' \cos^2 \varphi \, ds = 19x12,17 \quad " \quad \int r'' \sin^2 \varphi \, ds = 2x250x1,648x12,76 =$$

$$= 824x12,17.$$

$$\Delta \theta = - \frac{0,00061}{6,37} r + \frac{0,0581 + 0,2586 + 0,064}{692 + 19 + 824} r y_o = - 0,0000957 r +$$

$$+ 0,000248 r y_o$$

$$\Delta \delta = + 0,000248 r' \cos \varphi \quad \Delta \Delta = + 0,000248 \times 2 r'' \sin \varphi .$$

| Trozo | 1 | 2 | 3 | 4 | 5 | 6 | 7 | 8 |
|----------------------|-----|-----|-----|-----|-----|-----|----|----|
| $2 r'' \sin \varphi$ | 351 | 323 | 280 | 230 | 175 | 130 | 70 | 30 |

| Trozo | θ | $\Delta\theta$ | $\Delta\delta$ | $\Delta\Delta$ | θ | δ | Δ |
|-------|----------|----------------|----------------|----------------|----------|----------|----------|
| | r | ry | | | | | |

| | | | | |
|---|---------------------------------------|----------|---------|--------|
| 1 | -0,00004-0,00270-0,00274+0,0003+0,089 | -0,00078 | -0,0290 | +0,011 |
| 2 | -0,00005-0,00223-0,00228+0,0004+0,080 | -0,00138 | -0,0315 | +0,018 |
| 3 | -0,00007-0,00149-0,00156+0,0005+0,069 | -0,00176 | -0,0342 | +0,050 |
| 4 | -0,00008-0,00043-0,00051+0,0006+0,057 | -0,00176 | -0,0364 | +0,116 |
| 5 | -0,00009+0,00066+0,00057+0,0007+0,043 | -0,00070 | -0,0379 | +0,145 |
| 6 | -0,00009+0,00153+0,00144+0,0008+0,032 | +0,00173 | -0,0384 | +0,041 |
| 7 | -0,00009+0,00218+0,00209+0,0009+0,017 | +0,00272 | -0,0384 | -0,121 |
| 8 | -0,00010+0,00250+0,00240+0,0009+0,007 | +0,00195 | -0,0383 | -0,062 |

| Trozo | θ | $\sum \theta$ | $\delta_{\cos\varphi ds}$ | $\sum \delta_{\sin\varphi ds}$ | $\sum \Delta \cos\varphi ds$ | $\sum \Delta \sin\varphi ds$ |
|-------|--|--------------------------|---------------------------|--------------------------------|------------------------------|------------------------------|
| | | | mm | mm | mm | mm |
| 1 | -0,00078-0,00078-0,251-0,251-0,248-0,248 | -0,095+0,095+0,094+0,094 | -0,095 | -0,095 | -0,095 | -0,095 |
| 2 | -0,00138-0,00216-0,292-0,543-0,247-0,495 | +0,167+0,262+0,141+0,235 | +0,167 | +0,262 | +0,141 | +0,235 |
| 3 | -0,00176-0,00392-0,246-0,789-0,223-0,718 | +0,506+0,768+0,341+0,576 | +0,506 | +0,768 | +0,341 | +0,576 |
| 4 | -0,00176-0,00568-0,384-1,173-0,204-0,922 | +1,254+2,022+0,651+1,227 | +1,254 | +2,022 | +0,651 | +1,227 |
| 5 | -0,00070-0,00638-0,433-1,506-0,161-1,083 | +1,657+3,679+0,620+1,847 | +1,657 | +3,679 | +0,620 | +1,847 |
| 6 | +0,00173-0,00465-0,451-2,057-0,122-1,205 | +4,172+0,130+1,977 | +4,172 | +0,130 | +1,977 | |
| 7 | +0,00272-0,00193-0,465-2,522-0,066-1,271 | +1,461+2,711-0,169+1,808 | +1,461 | +2,711 | -0,169 | +1,808 |
| 8 | +0,00195+0,00002-0,466-2,988-0,028-1,299 | +1,830+1,881-0,045+1,763 | +1,830 | +1,881 | -0,045 | +1,763 |

| S | θ_M | δ_N | θ_p | δ_{2p} | ∞ | δ_p | Δ_Q | θ | δ | Δ |
|---|-----------------|-----------------|-----------------|------------------------|----------|------------|------------|----------|----------|----------|
| 1 | +0,00340-0,0307 | +0,00120-0,0056 | 0,84-0,0066-8,5 | +0,00460-0,0373-0,187 | | | | | | |
| 2 | -0,00011-0,0380 | +0,00050-0,0074 | 0,72-0,0078-2,5 | +0,00039-0,0458-0,055 | | | | | | |
| 3 | -0,00670-0,0404 | +0,00050-0,0083 | 0,70-0,0086-5,3 | -0,00620-0,0490 -0,117 | | | | | | |
| 4 | +0,00004-0,0406 | +0,00050-0,0075 | 0,81-0,0079+7,6 | +0,00054-0,0485+0,167 | | | | | | |
| 5 | +0,00594-0,0403 | +0,00050-0,0078 | 0,84-0,0082 0,0 | +0,00644-0,0485 0,00 | | | | | | |

| Trozo | θ | δ | Δ | y_0 | $\cos\varphi$ | $\operatorname{sen}\varphi$ | θy_0 | $\delta \cos\varphi$ | $\Delta \operatorname{sen}\varphi$ |
|-------|-----------------|----------|----------|--------|---------------|-----------------------------|----------------|----------------------|------------------------------------|
| 1 | +0,00460 | -0,0375 | -0,180 | -24,25 | 0,712 | 0,702 | -0,1113 | -0,0267 | -0,1262 |
| 2 | +0,00245 | -0,0421 | -0,076 | -16,00 | 0,761 | 0,645 | -0,0392 | -0,0321 | -0,0490 |
| 3 | -0,00008 | -0,0460 | -0,059 | -8,60 | 0,830 | 0,560 | +0,0007 | -0,0382 | -0,0330 |
| 4 | -0,00345 | -0,0491 | -0,098 | -2,15 | 0,888 | 0,460 | +0,0074 | -0,0436 | -0,0450 |
| 5 | -0,00640 | -0,0490 | -0,112 | +2,90 | 0,937 | 0,350 | -0,0185 | -0,0459 | -0,0392 |
| 6 | -0,00405 | -0,0485 | +0,060 | +6,50 | 0,965 | 0,260 | -0,0263 | -0,0468 | +0,0156 |
| 7 | +0,00180 | -0,0485 | +0,170 | +9,05 | 0,991 | 0,140 | +0,0163 | -0,0480 | +0,0238 |
| 8 | <u>+0,00597</u> | -0,0485 | +0,076 | +10,10 | 0,996 | 0,060 | <u>+0,0603</u> | <u>-0,0483</u> | <u>+0,0045</u> |
| | | | | | | | -0,1106 | -0,3296 | -0,2485 |
| | | | | | | | +0,00084 | | |

$$\int \theta ds = +0,00084x12,17 \quad " \quad \int \theta y_0 ds = -0,1106x12,17 \quad "$$

$$\int \delta \cos\varphi ds = -0,3296x12,17 \quad " \quad \int \Delta \operatorname{sen}\varphi ds = -0,2485x12,17 \quad "$$

$$\int r ds = 6,37x12,17 \quad \int r y_0^2 ds = 692x12,17 \quad "$$

$$\int r' \cos^2\varphi ds = 19x12,17 \quad " \quad \int 2r'' \operatorname{sen}^2\varphi ds = 2x290x1,648x12,17 =$$

$$= 956x12,17 \quad "$$

$$\Delta \theta = -\frac{0,00084}{6,37} r + \frac{0,1106 + 0,3296 + 0,2485}{692 + 19 + 956} ry_0 = -$$

$$= -0,000132 r + 0,000413 ry_0$$

$$\Delta \delta = +0,000413 r' \cos\varphi \quad \Delta \Delta = +0,000413x2 r'' \operatorname{sen}\varphi$$

| Trozo | 1 | 2 | 3 | 4 | 5 | 6 | 7 | 8 |
|-----------------------------------|-----|-----|-----|-----|-----|-----|----|----|
| $2 r'' \operatorname{sen}\varphi$ | 407 | 374 | 325 | 267 | 203 | 151 | 81 | 35 |

| | Trozo | θ | $\Delta\theta$ | $\Delta\delta$ | $\Delta\Delta$ | θ | δ | Δ | |
|---|--------------------|----------|----------------|----------------|----------------|----------|----------|----------|--------|
| | | r | ry | o | | | | | |
| 1 | -0,000132+0,000413 | -0,00006 | -0,00450 | -0,00456 | +0,0005 | +0,168 | +0,00004 | -0,0370 | -0,012 |
| 2 | -0,000132-0,00128 | -0,00007 | -0,00370 | -0,00377 | +P,0006 | +0,154 | -0,00132 | -0,0415 | +0,078 |
| 3 | -0,000132-0,00248 | -0,00009 | -0,00257 | -0,00257 | +0,0008 | +0,134 | -0,00265 | -0,0452 | +0,075 |
| 4 | -0,000132-0,00417 | -0,00011 | -0,00073 | -0,00084 | +0,0010 | +0,110 | -0,00429 | -0,0481 | +0,012 |
| 5 | -0,000132+0,00109 | -0,00012 | +0,00097 | +0,0012 | +0,084 | -0,00543 | -0,0478 | -0,028 | |
| 6 | -0,000132+0,00255 | -0,00012 | +0,00243 | +0,0014 | +0,062 | -0,00162 | -0,0471 | +0,122 | |
| 7 | -0,000132+0,00362 | -0,00013 | +0,00349 | +0,0015 | +0,033 | +0,00529 | -0,0470 | +0,203 | |
| 8 | -0,000132+0,00404 | -0,00013 | +0,00417 | +0,0015 | +0,014 | +0,01001 | -0,0470 | +0,090 | |

| | Trozo | θ | $\sum \theta$ | $\delta_{\cos\varphi ds}$ | $\sum \delta_{\cos\varphi ds}$ | $\sum \delta_{\sin\varphi ds}$ | $\sum \Delta \cos\varphi ds$ | $\Delta \sin\varphi ds$ | |
|---|------------------|----------|---------------|---------------------------|--------------------------------|--------------------------------|------------------------------|-------------------------|--------|
| 1 | +0,00004+0,00004 | -0,320 | -0,320 | -0,316 | -0,316 | -0,104 | -0,104 | -0,102 | -0,102 |
| 2 | -0,00132-0,00128 | -0,384 | -0,704 | -0,326 | -0,642 | +0,722 | +0,618 | +0,612 | +0,510 |
| 3 | -0,00265-0,00393 | -0,456 | -1,160 | -0,308 | -0,950 | +0,757 | +1,375 | +0,511 | +1,021 |
| 4 | -0,00429-0,00822 | -0,520 | -1,680 | -0,269 | -1,219 | +0,129 | +1,504 | +0,067 | +1,088 |
| 5 | -0,00543-0,01365 | -0,545 | -2,225 | -0,203 | -1,422 | -0,320 | +1,184 | -0,119 | +0,969 |
| 6 | -0,00162-0,01527 | -0,554 | -2,779 | -0,149 | -1,571 | +1,432 | +2,616 | +0,386 | +1,355 |
| 7 | +0,00529-0,00998 | -0,568 | -3,347 | -0,080 | -1,651 | +2,442 | +5,058 | +0,346 | +1,701 |
| 8 | +0,01001+0,00003 | -0,571 | -3,918 | -0,034 | -1,685 | +1,091 | +6,149 | +0,066 | -1,767 |

h)

En este caso el módulo de esfuerzo cortante que absorben las diagonales es $0,5 Q$, ó bien $\frac{1}{2} Q$, según se vió en el capítulo de esfuerzos normales.

Roscas 6-7:

| S | θ_M | δ_N | θ_p | δ_{2p} | \propto | δ_p | $\Delta Q \Delta = \frac{\Delta Q}{2x45,4}$ | θ | δ |
|---|--------------------------------|------------------------|------------|---------------|-----------|------------|---|----------|----------|
| 1 | +0,00803-0,0374+0,00190-0,0096 | 1,10-0,0117-18,5-0,200 | | | | | +0,00993 | -0,0470 | |
| 2 | -0,00325-0,0428-0,00060-0,0156 | 1,09-0,0149-33,8-0,372 | | | | | -0,00385 | -0,0584 | |
| 3 | -0,00767-0,0437-0,00100-0,0177 | 1,09-0,0166-15,1-0,166 | | | | | -0,00867 | -0,0614 | |
| 4 | +0,00181-0,0430+0,00130-0,0160 | 1,18-0,0175+10,9+0,120 | | | | | +0,00311 | -0,0590 | |
| 5 | +0,00505-0,0424+0,00190-0,0156 | 1,18-0,0178 | 0,0 | 0,00 | | | +0,00695 | -0,0580 | |

| Trozo | θ | δ | Δy_o | $\cos\varphi$ | $\sin\varphi$ | θ_{y_o} | $\delta \cos\varphi$ | $\Delta \sin\varphi$ | |
|-------|------------------------------------|----------|----------------------------------|---------------|---------------|----------------|----------------------|----------------------|-------------|
| 1 | +0,00950-0,0483-0,204-24,25 | 0,712 | 0702-0,2300-0,0344-0,143 | | | | | | $r'' = 483$ |
| 2 | +0,00170-0,0549-0,311-16,00 | 0,761 | 0,645-0,0272-0,0417-0,201 | | | | | | |
| 3 | -0,00450-0,0594-0,370-8,60 | 0,830 | 0,560+0,0395-0,0493-0,207 | | | | | | |
| 4 | -0,00820-0,0617-0,281-2,15 | 0,888 | 0,460+0,0176-0,0548-0,129 | | | | | | |
| 5 | -0,00820-0,0612-0,150+2,90 | 0,937 | 0,350-0,0238-0,0574-0,052 | | | | | | |
| 6 | -0,00260-0,0602+0,012+6,50 | 0,965 | 0,260-0,0169-0,0581+0,003 | | | | | | |
| 7 | +0,00400-0,0588+0,134+9,05 | 0,991 | 0,140+0,0362-0,0583+0,019 | | | | | | |
| 8 | <u>+0,00660-0,0580+0,076+10,10</u> | 0,996 | <u>0,060+0,0667-0,0577+0,005</u> | | | | | | |
| | -0,00180 | | | | | | -0,1379-0,4117-0,705 | | |

$$\begin{aligned}
 \int \theta \, ds &= -0,00180x12,17 \quad " \quad \int \theta y_0 \, ds = -0,1379x12,17 \quad " \\
 \int \delta \cos\varphi \, ds &= -0,4117x12,17 \quad " \quad \int \Delta \sin\varphi \, ds = -0,705x12,17 \quad " \\
 \int r \, ds &= 6,37x12,17 \quad " \quad \int r y_0^2 \, ds = 692x12,17 \quad " \\
 \int r' \cos^2\varphi \, ds &= 19x12,17 \quad " \quad \int r'' \cos^2\varphi \, ds = 483x1,648x \\
 x12,17 &= 795x12,17.
 \end{aligned}$$

$$\begin{aligned}
 \Delta\theta &= + \frac{0,00180}{6,37} r + \frac{0,1379+0,4117+0,7050}{692+19+795} ry_0 = + 0,000283 r + \\
 &\quad + 0,000835 ry_0
 \end{aligned}$$

$$\Delta\theta = + 0,000835 r' \cos\varphi \quad \Delta\Delta = + 0,000835 x r'' \sin\varphi.$$

| Trozo | 1 | 2 | 3 | 4 | 5 | 6 | 7 | 8 |
|-------|-----|-----|-----|-----|-----|-----|----|----|
| r'' | 339 | 311 | 270 | 222 | 169 | 125 | 68 | 29 |

| Trozo | 0,000283 | 0,000835 | $\Delta\theta$ | $\Delta\delta$ | $\Delta\Delta$ | θ | δ | Δ |
|-------|--|----------|----------------|----------------|----------------|----------|----------|----------|
| I | | ry_0 | | | | | | |
| 1 | +0,00013-0,00910-0,00897+0,0010+0,283+0,00053-0,0473+0,079 | | | | | | | |
| 2 | +0,00016-0,00750-0,00734+0,0013+0,260-0,00564-0,0536-0,051 | | | | | | | |
| 3 | +0,00020-0,00503-0,00483+0,0016+0,225-0,00933-0,0578-0,145 | | | | | | | |
| 4 | +0,00023-0,00147-0,00124+0,0020+0,185-0,00944-0,0597-0,096 | | | | | | | |
| 5 | +0,00026+0,00222+0,00248+0,0024+0,141-0,00572-0,0588-0,009 | | | | | | | |
| 6 | +0,00027+0,00515+0,00542+0,0028+0,104+0,00282-0,0574+0,116 | | | | | | | |
| 7 | +0,00027+0,00732+0,00759+0,0030+0,057+0,01159-0,0558+0,191 | | | | | | | |
| 8 | +0,00028+0,00842+0,00870+0,0030+0,024+0,01530-0,0550+0,100 | | | | | | | |

| Trozo | θ | $\sum \theta$ | $\delta_{\cos \varphi ds}$ mm | $\sum \delta_{\text{sen} \varphi ds}$ mm | $\sum \Delta \cos \varphi ds$ | $\sum \Delta \text{sen} \varphi ds$ | \sum |
|-------|------------------|---------------|--|---|-------------------------------|-------------------------------------|--------|
| 1 | +0,00053+0,00053 | -0,410 | -0,410-0,404-0,404+0,684+0,684+0,675+0,675 | | | | |
| 2 | -0,00564-0,00511 | -0,498 | -0,908-0,421-0,825-0,473+0,211-0,401+0,274 | | | | |
| 3 | -0,00933-0,01444 | -0,584 | -1,492-0,394-1,219-1,464-1,253-0,990-0,716 | | | | |
| 4 | -0,00944-0,02388 | -0,646 | -2,138-0,335-1,554-1,037-2,290-0,538-1,254 | | | | |
| 5 | -0,00572-0,02960 | -0,671 | -2,809-0,250-1,804-0,103-2,393-0,038-1,292 | | | | |
| 6 | +0,00282-0,02678 | -0,675 | -3,484-0,182-1,986+1,362-1,031+0,357-0,935 | | | | |
| 7 | +0,01159-0,01519 | -0,674 | -4,158-0,095-2,081+2,304+1,273+0,325-0,610 | | | | |
| 8 | +0,01530+0,0011 | -0,666 | -4,824-0,040-2,121+1,213+2,486+0,073-0,537 | | | | |

i)

Enlazadas ya las dos cabezas, el esfuerzo cortante queda absorbido en su totalidad por el hormigón, pudiendo entonces despreciarse la deformación debida al esfuerzo cortante.

Roscas 8 Entonces la expresión de la corrección será:

$$\Delta \theta = - \frac{\int \theta ds}{\int r ds} \quad r = ry_0 \quad \frac{\int \theta y_{ods} + \int \delta \cos \varphi ds}{\int ry^2 ds} \quad ,$$

Despreciamos $\int r' \cos^2 \varphi ds$ " y también $\Delta \delta$ por ser muy pequeño.

Pasemos pues a este caso.

| θ_M | θ_p | δ_N | δ_{2p} | \propto | δ_p | θ | δ |
|--------------------------|-----------------|------------|---------------|-----------------|-----------------|-----------------|----------|
| +0,00330 | 0,000 | -0,0053 | -0,0110 | 1,72 | -0,0110 | +0,00330-0,0163 | |
| -0,00093 | -0,00310-0,0058 | -0,0190 | 1,72 | -0,0137 | -0,00403-0,0195 | | |
| -0,00449m-0,00260-0,0064 | -0,0171 | 1,63 | -0,0129 | -0,00709-0,0193 | | | |
| +0,00139 | -0,00170-0,0063 | -0,0158 | 1,61 | -0,0131 | -0,00031-0,0194 | | |
| +0,00781 | -0,00140-0,0061 | -0,0158 | 1,60 | -0,0136 | +0,00641-0,0197 | | |

| Trozo | θ | δ | y_o | $\cos \varphi$ | θy_o | $\delta \cos \varphi$ |
|-------|-----------------|----------|--------|----------------|----------------|-----------------------|
| 1 | +0,00315 | -0,0164 | -24,25 | 0,712 | -0,0765 | -0,0116 |
| 2 | -0,00085 | -0,0185 | -16,00 | 0,761 | +0,0156 | -0,0141 |
| 3 | -0,00430 | -0,0195 | -8,60 | 0,830 | +0,0369 | -0,0162 |
| 4 | -0,00640 | -0,0196 | -2,15 | 0,888 | +0,0,137 | -0,0174 |
| 5 | -0,00710 | -0,0192 | +2,90 | 0,937 | -0,0206 | -0,0180 |
| 6 | -0,00450 | -0,0192 | +6,50 | 0,965 | -0,0292 | -0,0185 |
| 7 | +0,00070 | -0,0194 | +9,05 | 0,991 | +0,0063 | -0,0192 |
| 8 | <u>+0,00576</u> | -0,0196 | +10,10 | 0,996 | <u>+0,0584</u> | <u>-0,0195</u> |
| | | | | | +0,0046 | -0,1345 |

$$\Delta \theta = + \frac{0,01354}{6,37} r + \frac{-0,0046+0,1345}{692} x ry_o = + 0,00212 r + \\ + 0,000188 ry_o$$

| Trozo | $+0,00212+0,000188$ | r | $\Delta \theta$ | θ | $\sum \theta$ | $\delta_{\text{sen} \varphi}$ | $\sum_{\text{mm}} \delta_{\text{sen} \varphi}$ | $\delta_{\text{cos} \varphi}$ | \sum_{mm} |
|-------|---------------------|----------|-----------------|----------|---------------|-------------------------------|--|-------------------------------|--------------------|
| 1 | +0,00095 | -0,00205 | -0,00110 | +0,00205 | +0,00205 | -0,140 | -0,140 | -0,140 | -0,141 |
| 2 | +0,00119 | -0,00169 | -0,00050 | -0,00135 | +0,00070 | -0,145 | -0,285 | -0,172 | -0,313 |
| 3 | +0,00148 | -0,00113 | +0,00035 | -0,00395 | -0,00325 | -0,133 | -0,418 | -0,197 | -0,510 |
| 4 | +0,00174 | -0,00033 | +0,00141 | -0,00499 | -0,00824 | -0,109 | -0,527 | -0,212 | -0,722 |
| 5 | +0,00195 | +0,00050 | +0,00245 | -0,00465 | -0,01289 | -0,082 | -0,609 | -0,219 | -0,941 |
| 6 | +0,00201 | +0,00116 | +0,00317 | -0,00133 | -0,01422 | -0,061 | -0,670 | -0,225 | -1,166 |
| 7 | +0,00206 | +0,00165 | +0,00371 | +0,00441 | -0,00981 | -0,033 | -0,703 | -0,234 | -1,400 |
| 8 | +0,00212 | +0,00190 | +0,00402 | +0,00978 | -0,00003 | -0,015 | -0,718 | -0,237 | -1,637 |

j) Tablero

| S | θ_M | θ_p | δ_N | δ_p | θ | δ |
|---|------------|------------|------------|------------|----------|----------|
| 1 | -0,00450 | -0,00310 | -0,0152 | -0,02320 | -0,00760 | -0,0384 |
| 2 | 0,000 | -0,00370 | -0,0150 | -0,02060 | -0,00370 | -0,0356 |
| 3 | +0,00506 | -0,00390 | -0,0139 | -0,0271 | +0,00116 | -0,0410 |
| 4 | -0,00099 | -0,00380 | -0,0139 | -0,0268 | -0,00479 | -0,0407 |
| 5 | -0,00083 | -0,00520 | -0,0141 | -0,0270 | -0,00603 | -0,0411 |

| Trozo | θ | δ | y_o | $\cos\varphi$ | θy_o | $\delta \cos\varphi$ |
|-------|-----------------|----------------|---------------|---------------|----------------|----------------------|
| 1 | -0,00760 | -0,0382 | -24,25 | 0,712 | +0,1840 | -0,0274 |
| 2 | -0,00585 | -0,0366 | -16,00 | 0,761 | +0,0937 | -0,0278 |
| 3 | -0,00350 | -0,0358 | -8,60 | 0,830 | +0,0301 | -0,0297 |
| 4 | -0,00050 | -0,0385 | -2,15 | 0,888 | +0,0011 | -0,0350 |
| 5 | +0,00112 | -0,0410 | +2,90 | 0,937 | +0,0032 | -0,0384 |
| 6 | -0,00162 | -0,0410 | +6,50 | 0,965 | -0,0105 | -0,0393 |
| 7 | -0,00545 | -0,0408 | +9,05 | 0,991 | -0,0493 | -0,0405 |
| 8 | <u>-0,00610</u> | <u>-0,0410</u> | <u>+10,10</u> | <u>0,996</u> | <u>-0,0616</u> | <u>-0,0408</u> |
| | | | | | +0,1907 | -0,2791 |

$$\Delta\theta = + \frac{0,02950}{6,37} r + \frac{-0,1907+0,2791}{692} ry_o = +$$

$$+ 0,00463 r + 0,000113 ry_o$$

| | Trozo | $\Delta\theta$ | θ | $\Sigma\theta$ | $\delta_{\text{sen}\varphi ds}$ | $\sum \delta_{\cos\varphi ds}$ | \sum |
|---|--|----------------|----------|----------------|---------------------------------|--------------------------------|--------|
| | +0,00463+0,000118 | r | ryo | | | | |
| 1 | +0,00208-0,00123+0,00085-0,00675-0,00675-0,326-0,326-0,334-0,334 | | | | | | |
| 2 | +0,00259-0.00102+0,00157-0,00428-0,01103-0.288-0,614-0,338-0,672 | | | | | | |
| 3 | +0,00324-0,00068+0,00256-0,00094-0,01197-0,243-0,857-0,362-1,034 | | | | | | |
| 4 | +0,00380-0,00020+0,00360+0,00310-0,00887-0,215-1,072-0,426-1,460 | | | | | | |
| 5 | +0,00426+0,00030+0,00456+0,00568-0,00319-0,174-1,246-0,468-1,928 | | | | | | |
| 6 | +0,00440+0,00070+0,00510+0,00348+0,00029-0,130-1,376-0,481-2,409 | | | | | | |
| 7 | +0,00449+0,00099+0,00548+0,00003+0,00032-0,070-1,446-0,493-2,902 | | | | | | |
| 8 | +0,00463+0,00114+0,00577-0,00033-0,00001-0,031-1,477-0,497-3,399 | | | | | | |

PASO DE LAS ELASTICAS HALLADAS PARA LOS PUNTOSDE LA CABEZA SUPERIOR, Y DE LA DIRECTRIZ, A LAS ELASTICAS QUE CORRESPONDEN AL INTRADOS DEL ARCO .-

ELASTICAS TOTALES.-

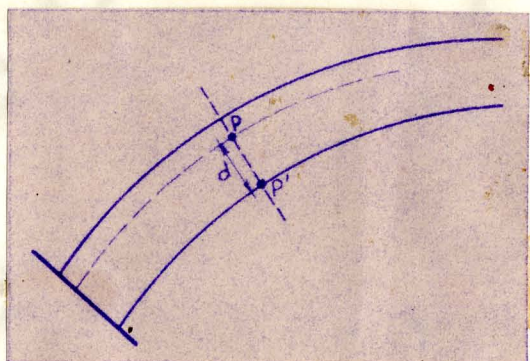
Tenemos ya, las elásticas que se producen al agregar cada causa. En el arco articulado, las de la cabeza superior y en el empotrado las de la directriz.

Nos conviene en uno y otro caso, determinar las elás ticas del intradós del arco hormigonado, ya que a él han de ir las señales.

Vamos a ver como se pasa de una elástica referente a una fibra, a la elástica que corresponde a la fibra del trasdós.

El movimiento de P consiste:

- 1º) En una translación debida al acortamiento de la fibra que pasa por P.
- 2º) En un deslizamiento de la sección.
- 3º) En un giro alrededor de P.



El movimiento de P' se compo-

- ne:
- 1º) En una translación igual al caso 1º de P.
 - 2º) En un deslizamiento igual al caso 2º de P.
 - 3º) En un giro alrededor de P.

Es decir el movimiento de P' es el de P , aumentando en el término que corresponde al giro.

Si llamamos θ al giro por unidad de una sección, el desplazamiento relativo entre P y P' debido a estos giros vale:

$$\Delta = d \times \int_0^P \theta \, ds$$

siendo d la distancia entre P y P' " Δ tiene sentido normal a la sección, luego sus componentes son:

$$\Delta y = d \times \sin \varphi \quad \int_0^P \theta \, ds \quad \Delta x = d \times \cos \varphi \int_0^P \theta \, ds.$$

Adoptando los signos de los corrimientos como sigue

$$\begin{array}{c} \theta \uparrow > 0 \\ \Delta y \uparrow > 0 \\ \Delta x \rightarrow 0 \end{array} \quad \text{queda} \\ \Delta y = + d \sin \varphi \quad \int_0^P \theta \, ds \quad \Delta x = - d \cos \varphi \int_0^P \theta \, ds$$

Estos valores sumados a los de las flechas del punto P , nos dan las del punto P' .

Vamos a deducir valores de las elásticas halladas.

Llamaremos: f_v la flecha vertical " f_h la horizontal. $\Sigma \theta$ la suma de los giros (El de arranque inclusive cuando lo haya) hasta el punto considerado. d lo dicho antes. φ el ángulo de la directriz con la horizontal. Δx y Δy las correcciones.

Determinaremos las flechas en 4 secciones para cada caso, que es suficiente para dibujar las elásticas.

Valores de f_r y f_h en distintos casos " $f_v \uparrow > 0$ " $\int_h \leftarrow > 0$

| Caso | a | b | c | d | e | f | g | h | | | | | | | |
|------|-------------------------|-------------------------|-------------------------|------------------------|------------------------|------------------------|------------------------|------------------------|------------------------|------------------------|------------------------|------------------------|------------------------|------------------------|-------|
| Sec- | $\frac{f_v}{\text{mm}}$ | $\frac{f_h}{\text{mm}}$ | $\frac{f_v}{\text{mm}}$ | $\frac{f_h}{\text{o}}$ | $\frac{f_r}{\text{o}}$ | $\frac{f_h}{\text{o}}$ | $\frac{f_r}{\text{o}}$ | $\frac{f_h}{\text{o}}$ | $\frac{f_v}{\text{o}}$ | $\frac{f_h}{\text{o}}$ | $\frac{f_v}{\text{o}}$ | $\frac{f_h}{\text{o}}$ | $\frac{f_v}{\text{o}}$ | $\frac{f_h}{\text{o}}$ | |
| 0 | 0 | 0 | 0 | 0 | 0 | 0 | 0 | 0 | 0 | 0 | 0 | 0 | 0 | 0 | 0 |
| 1 | -8,3 | -0,0 | -46,1 | -32,0 | -18,1 | -13,0 | +14,6 | +12,0 | -5,0 | -3,5 | -1,1 | +0,0 | -1,1 | -0,5 | -1,2 |
| 2 | -18,2 | -0,8 | -58,2 | -28,0 | -13,9 | -8,0 | +17,5 | +11,8 | -8,2 | -3,2 | -4,2 | -0,1 | -0,9 | -4,0 | -3,6 |
| 3 | -41,3 | -7,6 | -14,6 | -12,5 | -12,0 | -4,0 | -3,0 | +3,0 | +6,5 | +6,0 | -10,0 | -1,0 | -8,7 | -9,2 | -0,3 |
| 4 | -53,6 | 0,0 | +54,8 | 0,0 | +2,6 | 0,0 | -35,7 | 0,0 | -11,8 | 0,0 | -6,6 | 0,0 | -15,2 | 0,0 | -20,7 |

| Caso | i | | j | | |
|------|---------|--------------------------|--------------------------|--------------------------|--------------------------|
| | Sección | $\frac{f_r}{\text{f}_r}$ | $\frac{f_h}{\text{f}_h}$ | $\frac{f_r}{\text{f}_r}$ | $\frac{f_h}{\text{f}_h}$ |
| 0 | 0 | 0 | 0 | 0 | 0 |
| 1 | 0,0 | +0,6 | -2,0 | -0,2 | |
| 2 | -1,2 | +0,5 | -5,3 | -1,3 | |
| 3 | -4,8 | +0,0 | -6,7 | -0,4 | |
| 4 | -7,4 | 0,0 | -6,8 | 0,0 | |

A continuación se indican para los mismos casos los valores de $\sum \theta$ y d.

Los valores de $\Delta \propto$ y Δ_y son:

| Caso | a | b | c | d | e | f | g | h |
|---------|-------------------|-------------------------|-------------------|-------------------------|------------------|--------------------------------|------------|--------------------------------|
| Sección | Δ_y m/m | $\Delta \propto$ m/m | Δ_y m/m | $\Delta \propto$ m/m | Δ_y mm | $\Delta \propto$ Δ_y | Δ_y | $\Delta \propto$ Δ_y |
| 0 | -2,42 | +2,15 | -11,34 | +10,08 | -4,69 | +4,16 | 3,76 | -3,34 |
| 1 | -0,40 | +0,47 | -4,59 | +5,41 | -1,13 | +1,33 | +1,42 | -1,67 |
| 2 | -1,48 | +2,86 | +1,09 | -2,11 | +0,82 | -1,58 | -0,31 | +0,60 |
| 3 | -0,94 | +3,44 | +2,66 | -9,78 | +0,51 | -1,87 | -1,14 | +4,18 |
| 4 | 0 | -0,56 | 0 | -13,95 | 0 | +0,30 | 0 | +8,50 |

| Caso | i | j | | |
|---------|------------|------------------|------------|------------------|
| Sección | Δ_y | $\Delta \propto$ | Δ_y | $\Delta \propto$ |
| 0 | 0 | 0 | 0 | 0 |
| 1 | +0,01 | -0,01 | -0,23 | +0,27 |
| 2 | -0,11 | +0,22 | -0,12 | +0,23 |
| 3 | -0,09 | +0,33 | +0,00 | +0,01 |
| 4 | 0 | 0 | 0 | 0 |

Por último se indican los valores corregidos.

| Caso | a | b | c | d | e | f | g | h |
|---------|-------|-------|--------|--------|-------|-------|-------|-------|
| Sección | f_v | f_h | f_v | f_h | f_v | f_h | f_v | f_h |
| 0 | -2,42 | +2,20 | -11,30 | +10,10 | -4,79 | +4,2 | +3,8 | -3,3 |
| 1 | -8,7 | +0,5 | -50,7 | -26,6 | -19,2 | -11,7 | +16,0 | +10,3 |
| 2 | -19,5 | +2,1 | -56,9 | -30,1 | -13,1 | -9,6 | +17,2 | +12,4 |
| 3 | -42,6 | -0,2 | -11,8 | -21,8 | -3,5 | -4,9 | +2,4 | +10,2 |
| 4 | -53,6 | -0,6 | +54,8 | -13,9 | +2,6 | +0,3 | -35,7 | +8,5 |

| Caso | i | j | |
|---------|-------|-------|-------|
| Sección | f_v | f_h | f_v |
| 0 | 0 | 0 | 0 |
| 1 | +0,0 | +0,6 | -2,2 |
| 2 | -1,3 | +0,7 | -5,4 |
| 3 | -4,9 | +0,3 | -6,7 |
| 4 | -7,4 | 0,0 | -6,8 |

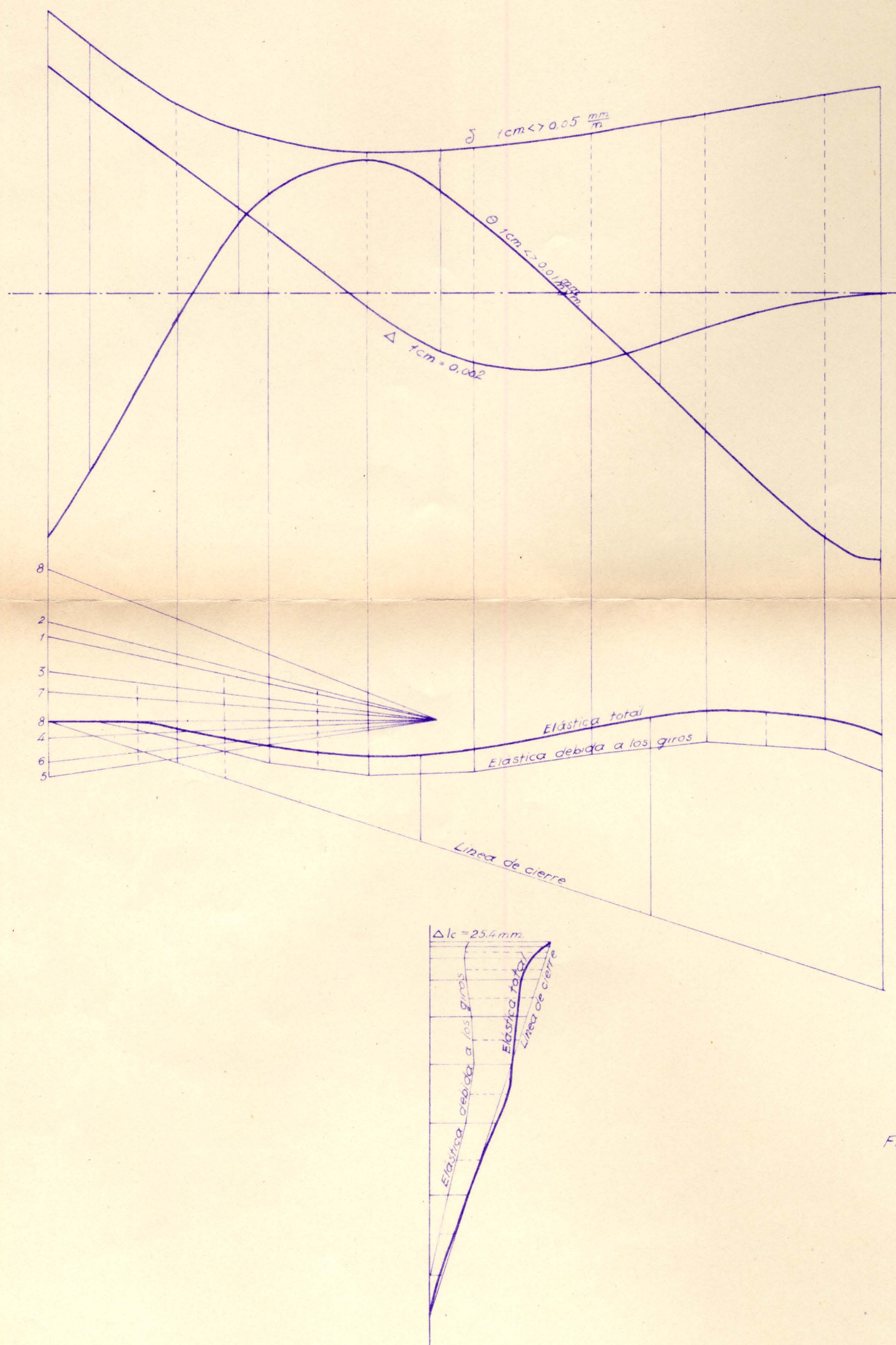
Sumando cada valor con los anteriores se obtienen las flechas totales que valen:

| Caso | a | b | c | d | e | f | g |
|---------|-------|-------|-------|-------|-------|-------|--------|
| Sección | f_v | f_h | f_v | f_h | f_v | f_h | f_v |
| 0 | -2,4 | +2,2 | -13,7 | +12,3 | -18,4 | +16,5 | -14,6 |
| 1 | -8,7 | +0,5 | -59,4 | -26,1 | -78,6 | -37,8 | -62,6 |
| 2 | -19,5 | +2,1 | -76,4 | -28,0 | -89,5 | -57,6 | -72,3 |
| 3 | -42,6 | -0,2 | -54,4 | -22,0 | -57,9 | -26,9 | -55,5 |
| 4 | -53,6 | -0,6 | +1,2 | -14,5 | +3,8 | -14,2 | -3,19- |
| | | | | | | | - |

| Caso | i | | j | - |
|---------|--------|-------|--------|-------|
| Sección | f_v | f_h | f_v | f_h |
| 0 | -14,6 | +13,3 | -14,6 | +13,3 |
| 1 | -72,0 | -28,3 | -74,2 | -28,4 |
| 2 | -94,0 | -26,3 | -99,4 | -27,4 |
| 3 | -100,6 | -18,7 | -107,3 | -19,1 |
| 4 | -93,6 | -5,7 | -100,4 | -5,7 |
| | | | | - |

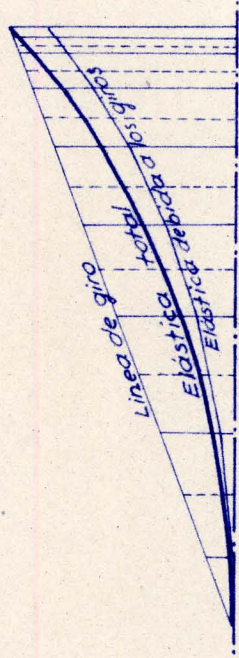
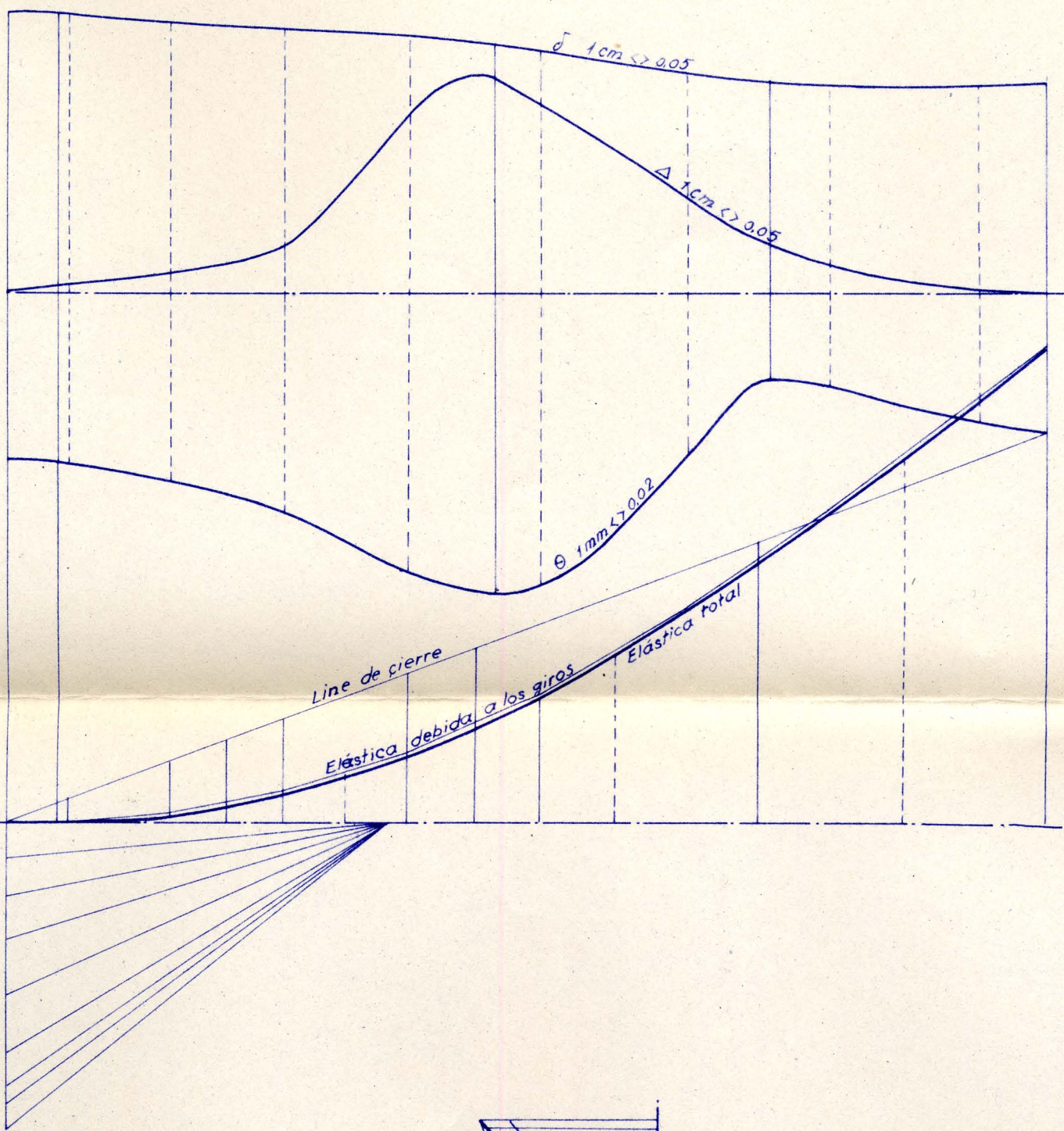
Eduardo Torroja 20/11/1939 ord. Torroja traz. G^o Manje dib. Andrés comp. proc.
Oficina Técnica nº 363.112 Peso propio y núcleo

PESO PROPIO Y NÚCLEO



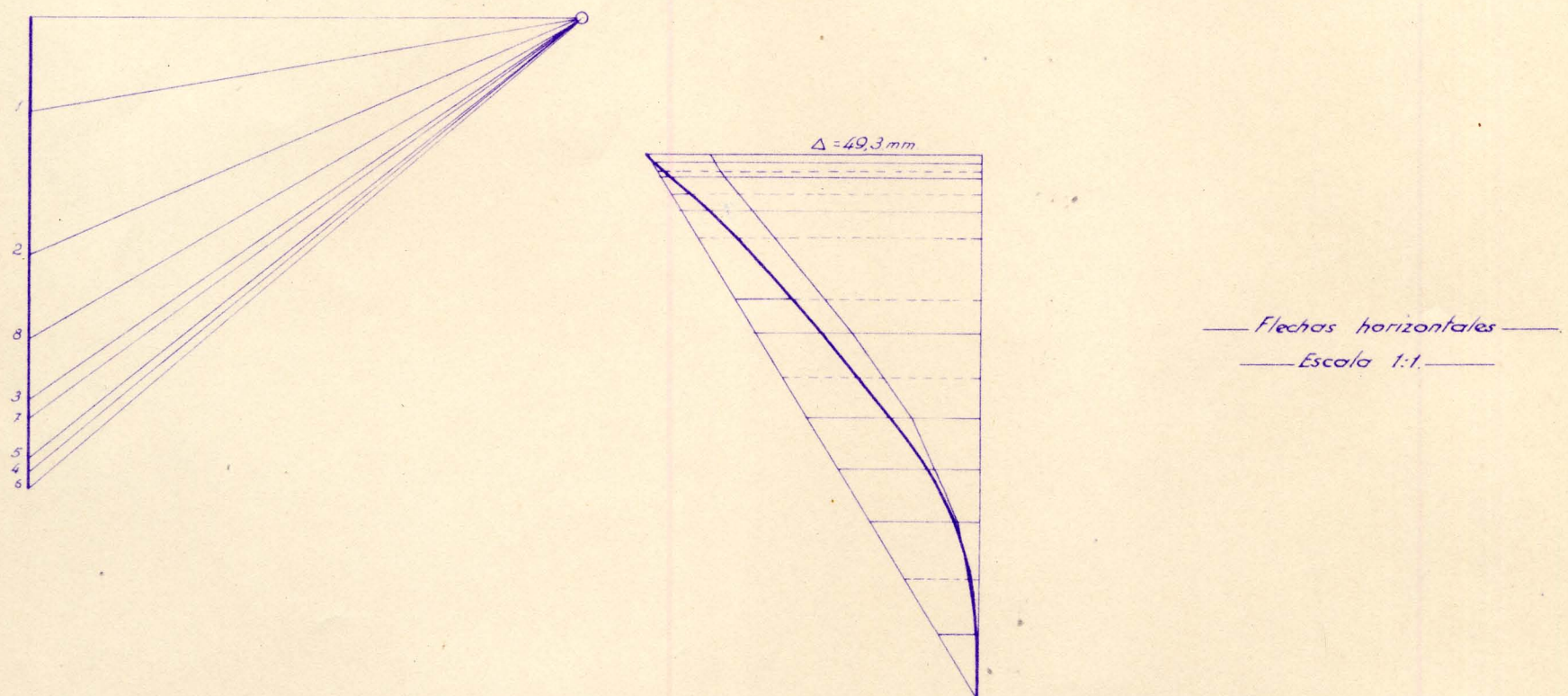
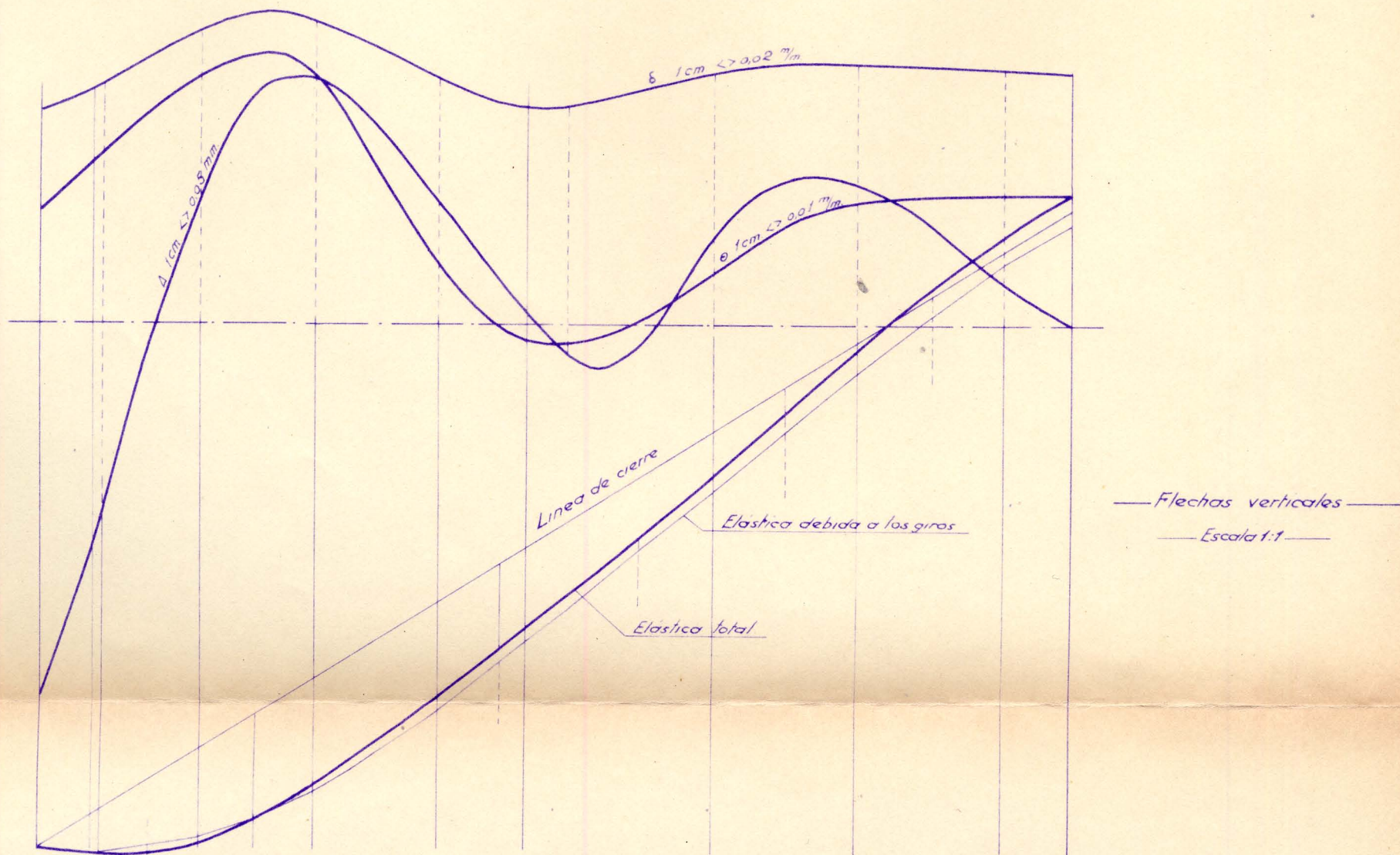
Eduardo Torroja 20/11/1939 ord. Torroja traz. G^e-Monje dib. Andrés comp. proc.
Oficina Técnica nº. 363.113 Hormigonado rosca 1

HORMIGONADO ROSCA 1



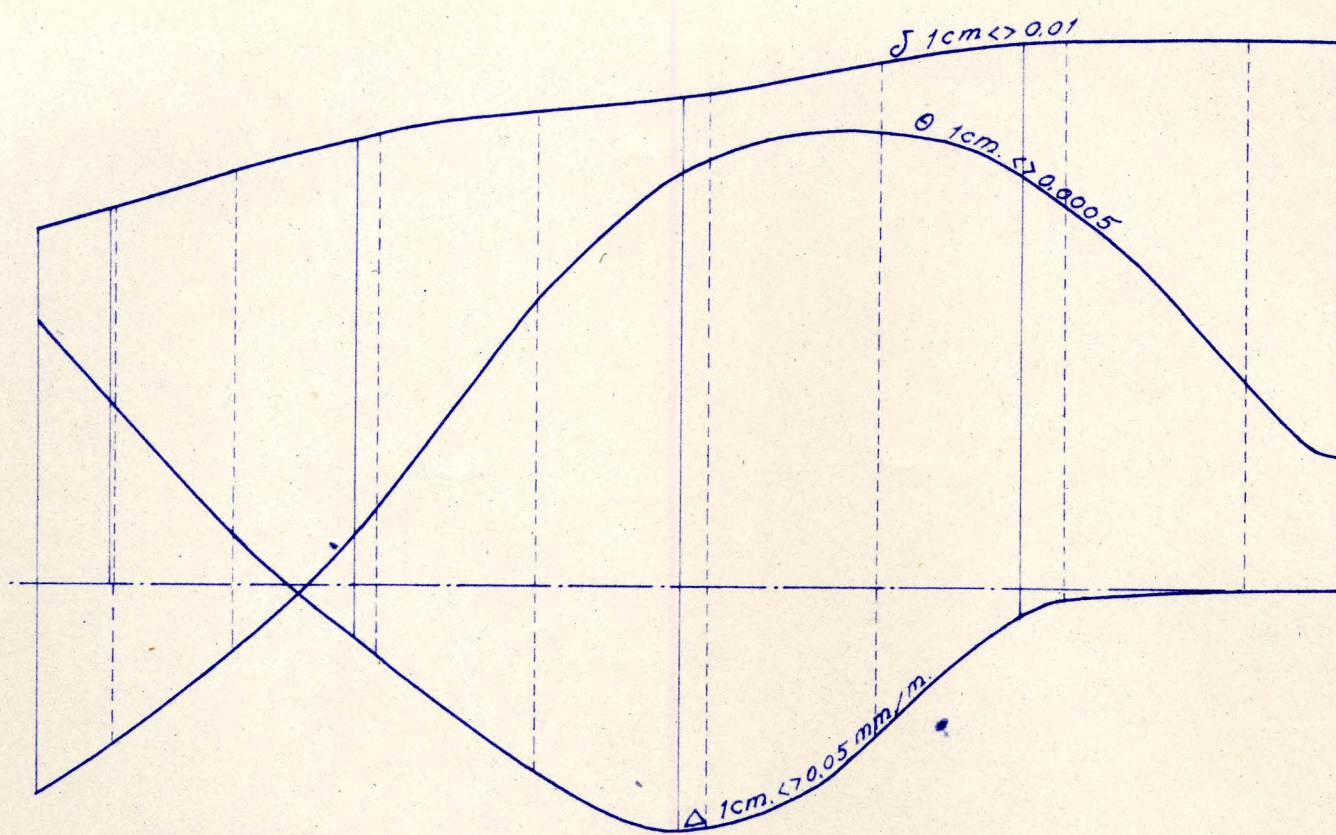
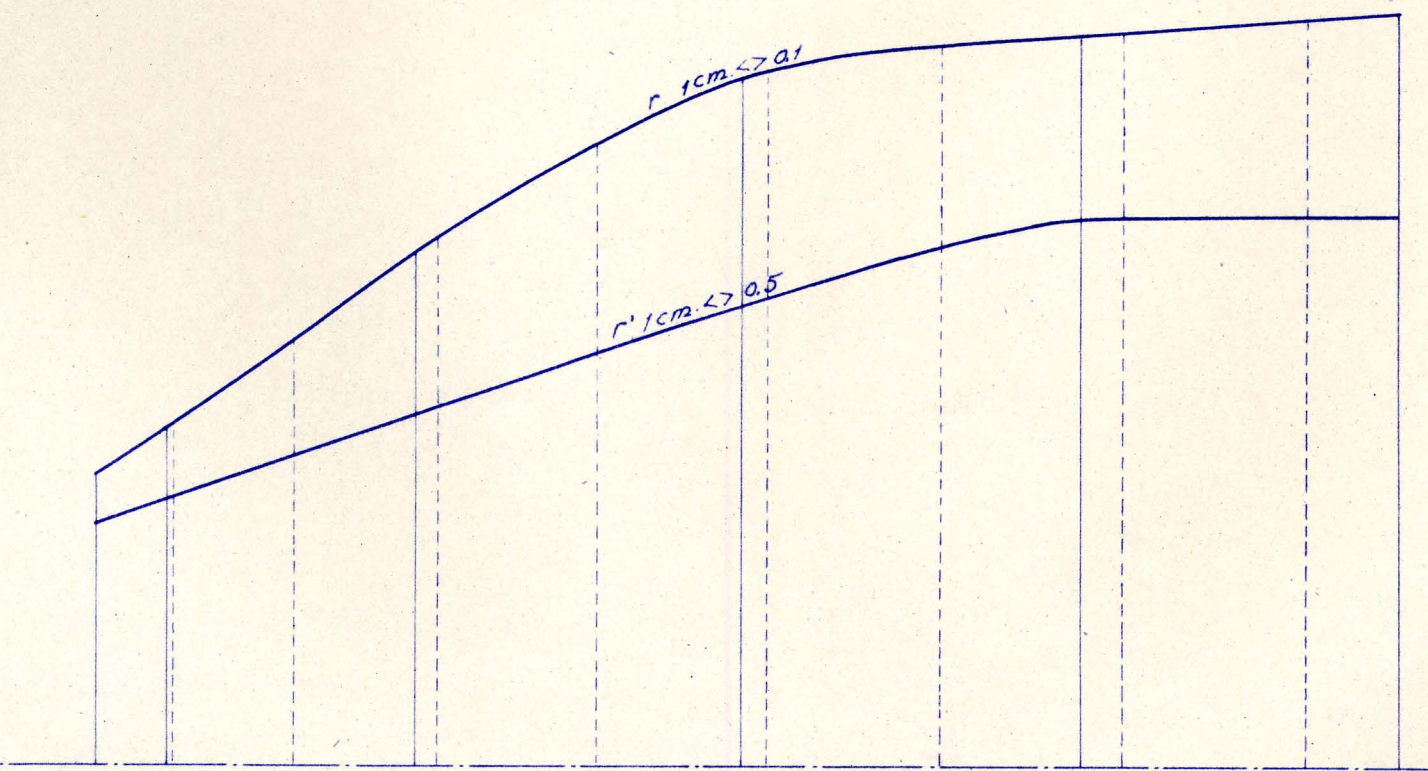
Eduardo Torroja 20/11/1939 ord. Torroja traz. G^o Monje dib. Vigara comp. proc.
Oficina Técnica nº 363.114 Hormigonado de rosca 2.

HORMIGONADO ROSCA 2



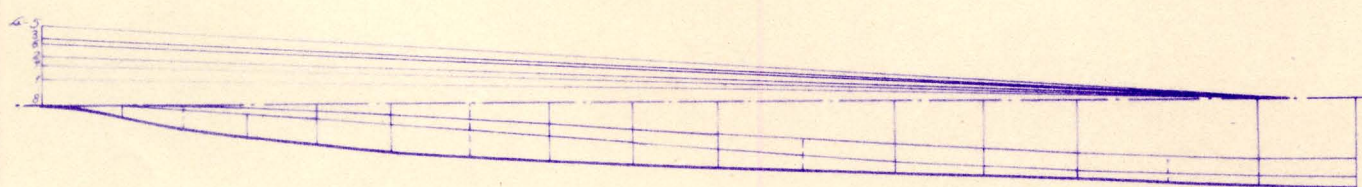
Eduardo Torroja 20/11/1939 ord. Torroja traz. G^e Monje dib. Andrés comp. proc.
Oficina Técnica nº 363.115 Arco empotrado, determinación de r y r'

ARCO EMPOTRADO. DETERMINACIÓN DE r Y r'

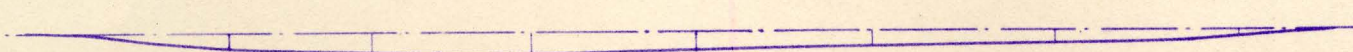
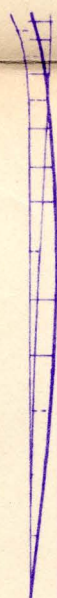


Eduardo Torroja 20/11/1939 ord. Torroja tráz. G^e Morje dib. Andrés comp. proc.
Oficina Técnica nº 363.116 Hormigonado de roscas 3

HORMIGONADO ROSCAS 3



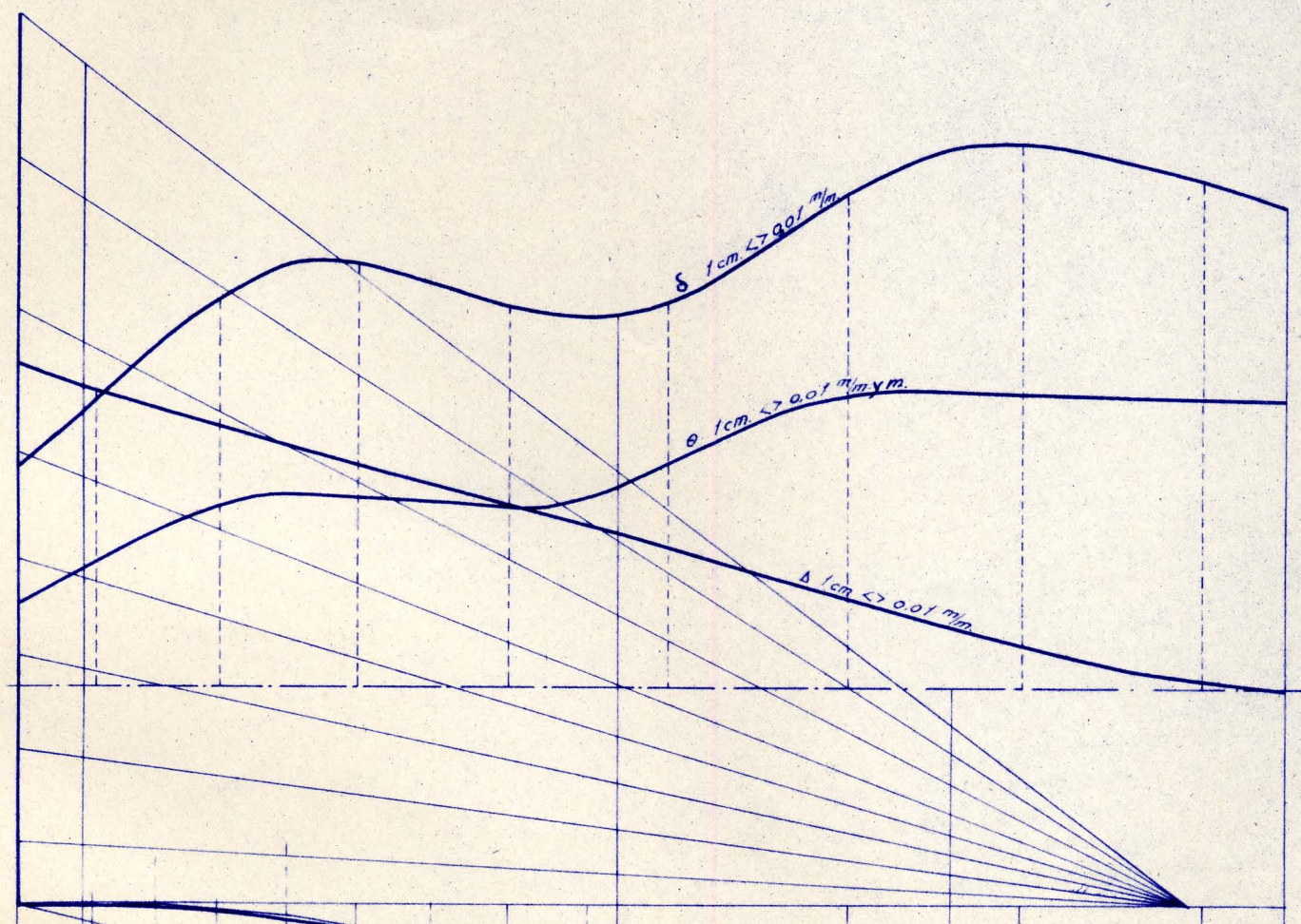
Flechas verticales
Escala 1:1



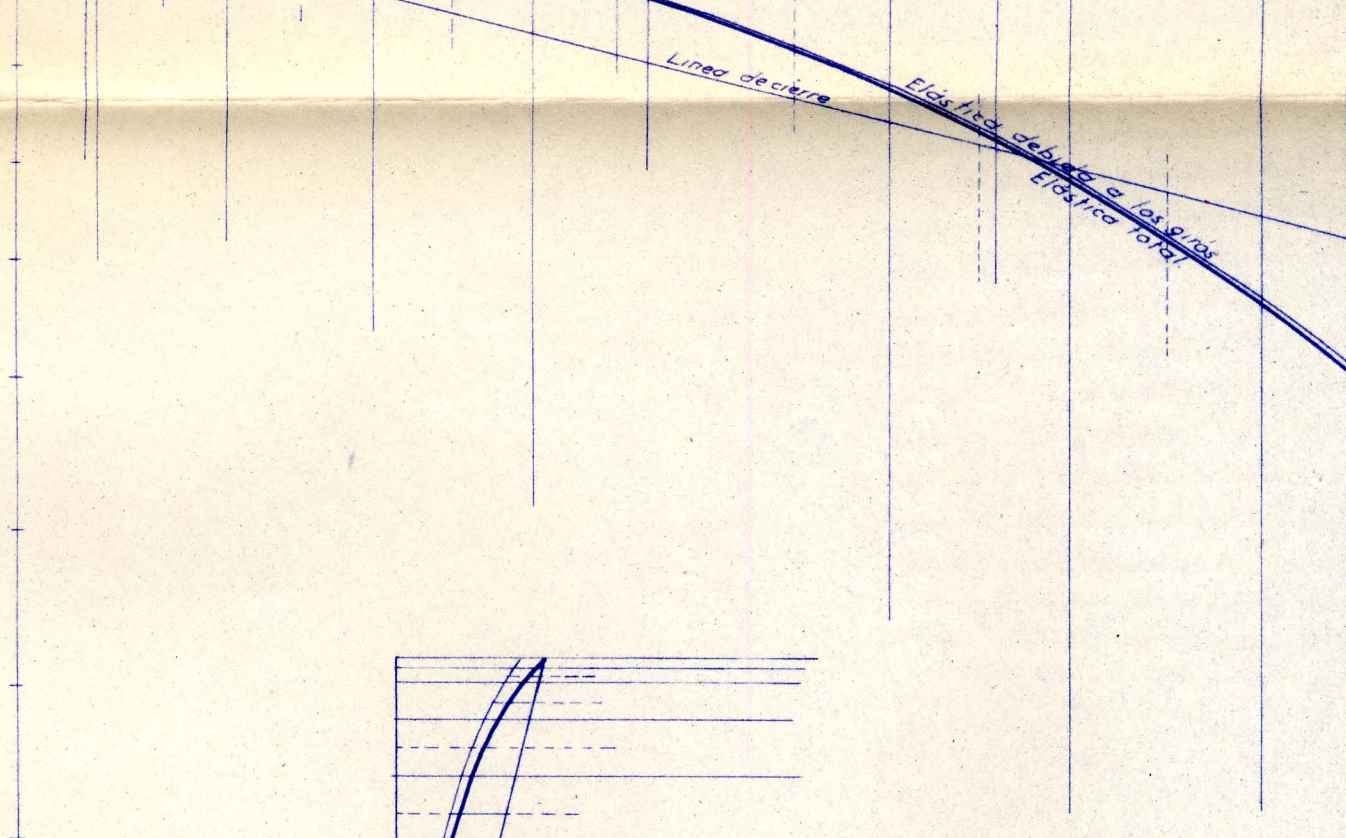
Flechas horizontales
Escala 1:1

Eduardo Torroja 20/11/1939 ord. Torroja traz. G^o Manje dib. Vigara comp. proc.
Oficina Técnica nº 363.117 Enclavamiento de articulaciones.

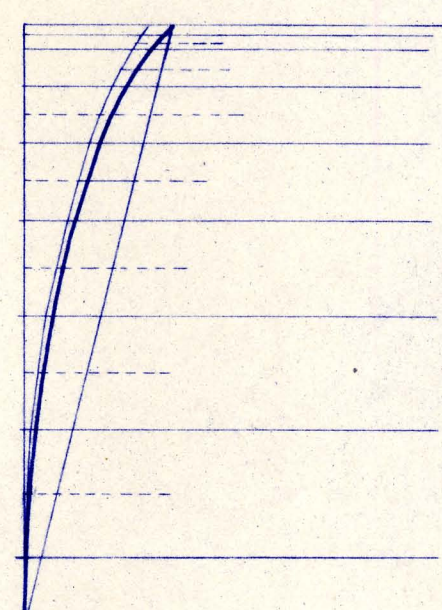
ENCLAVAMIENTO DE ARTICULACIONES



— Flechas verticales —
— Escala 1:2 —

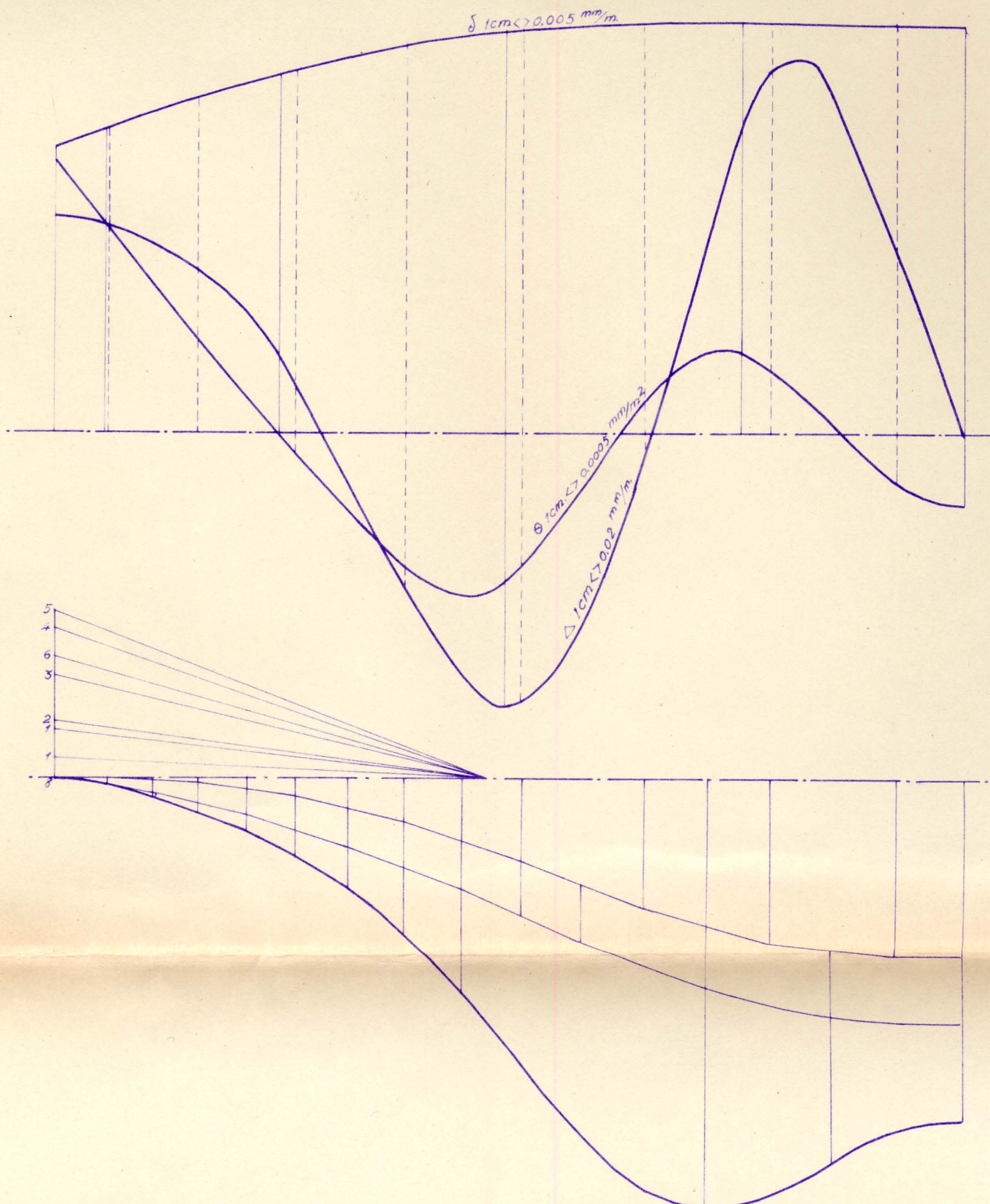


— Flechas horizontales —
— Escala 1:2 —

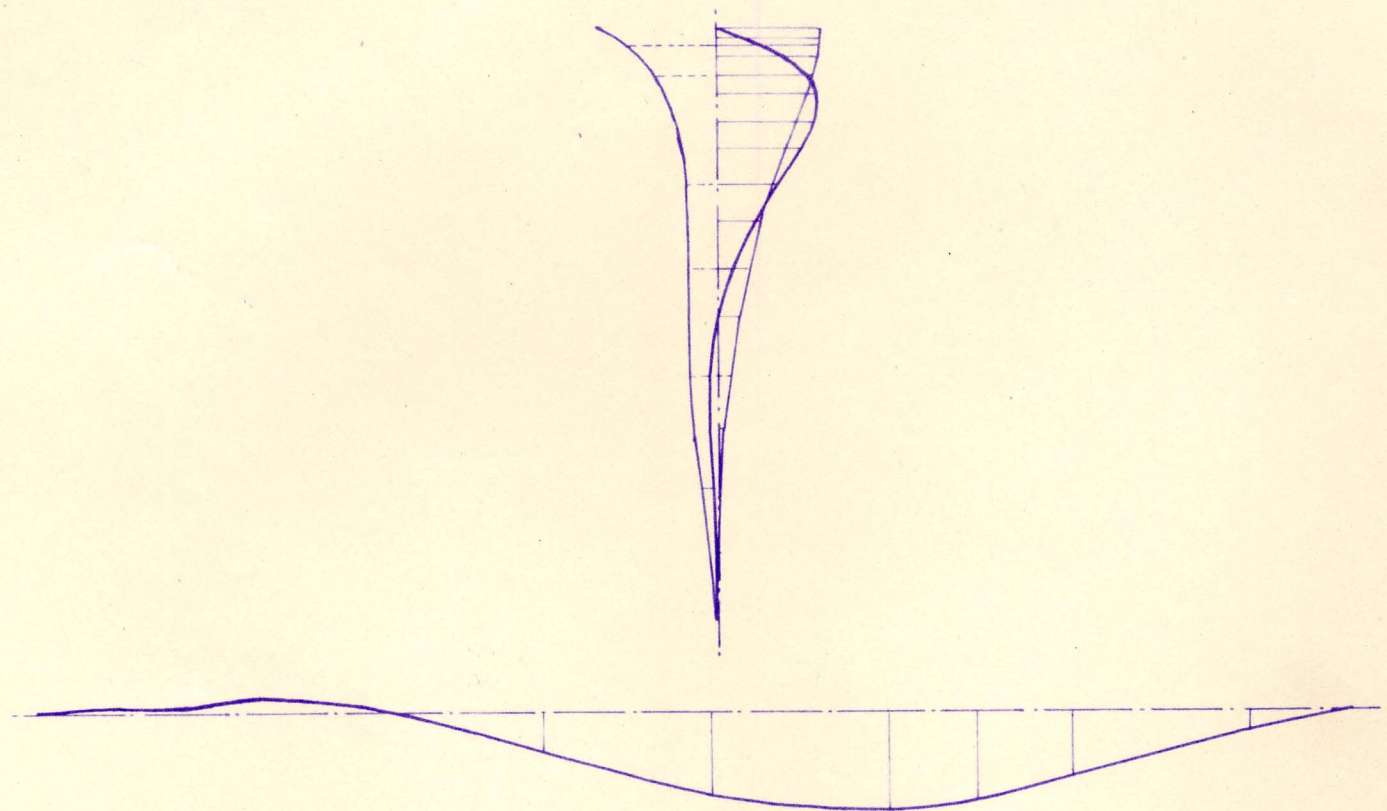


Eduardo Torroja 20/11/1939 ord. Torroja traz. G^o Manje dib. Andrés comp. proc.
Oficina Técnica nº 363.118 Hormigonado de rosas 4

HORMIGONADO ROSAS 4.



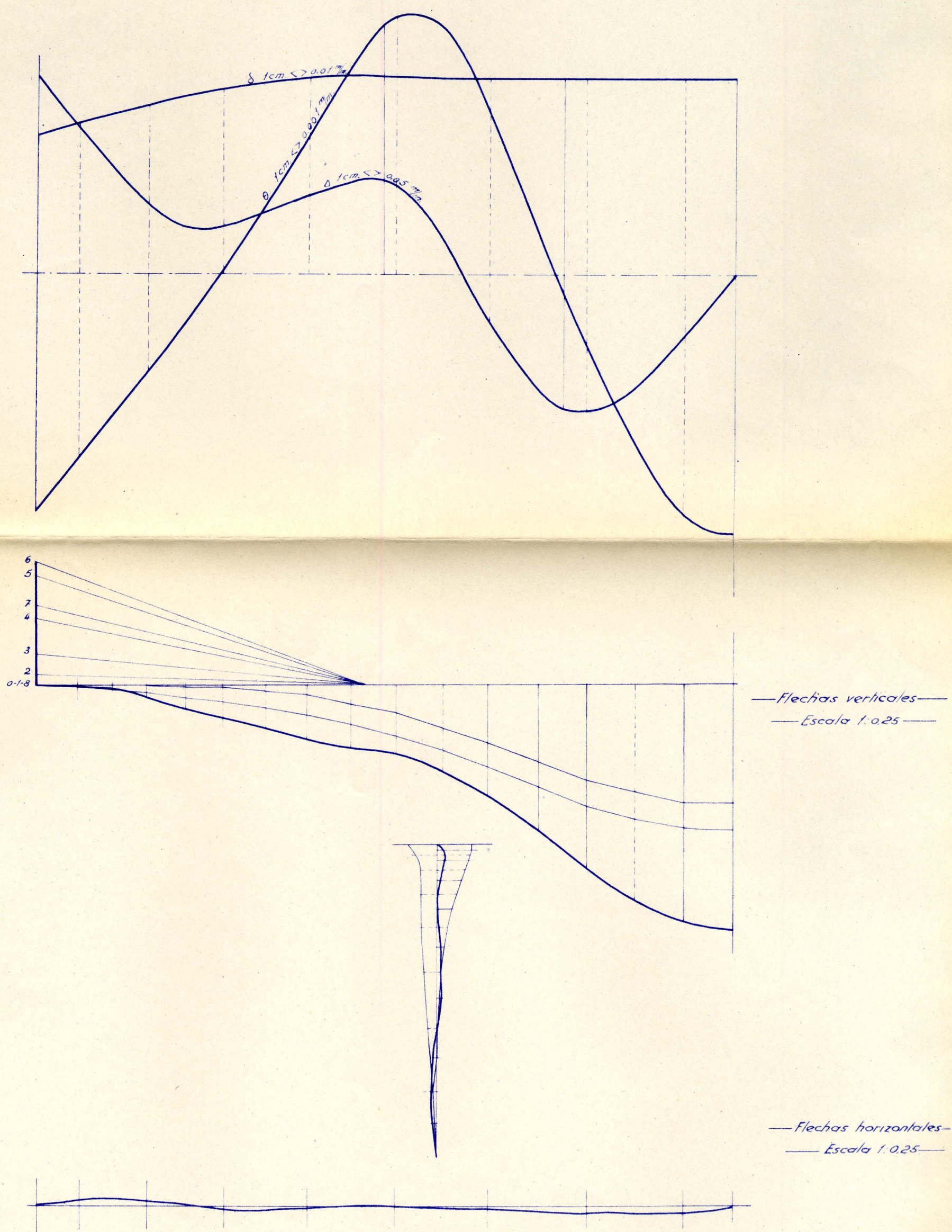
Flechas verticales
Escala 10:1



Flechas horizontales
Escala 10:1

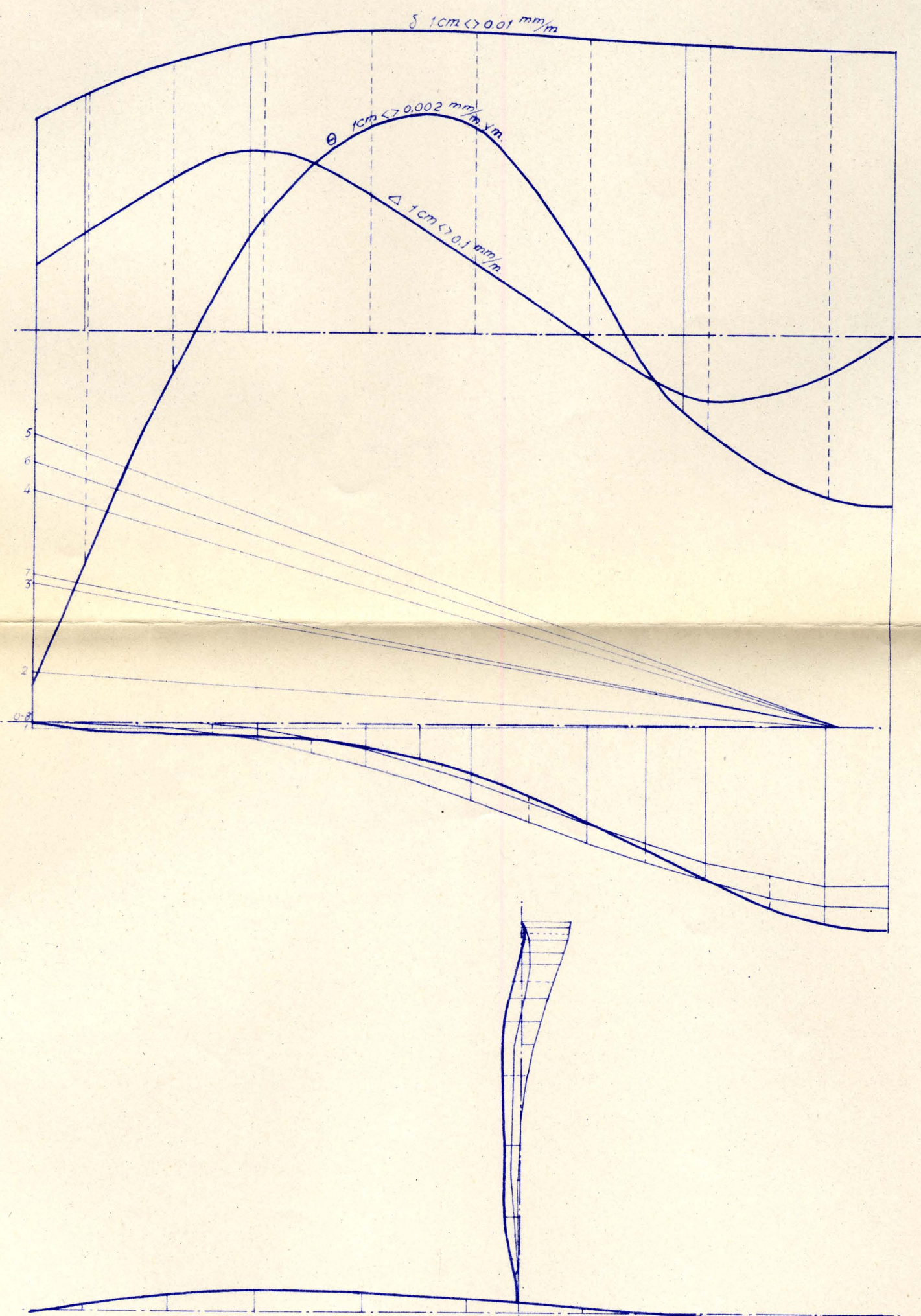
Eduardo Torroja 21/11/1939 ord.Torroja traz.G^o Monje dib.Vigara comp. proc.
Oficina Técnica nº 363.119 Hormigonado de roscas 5.

HORMIGONADO ROSCAS 5



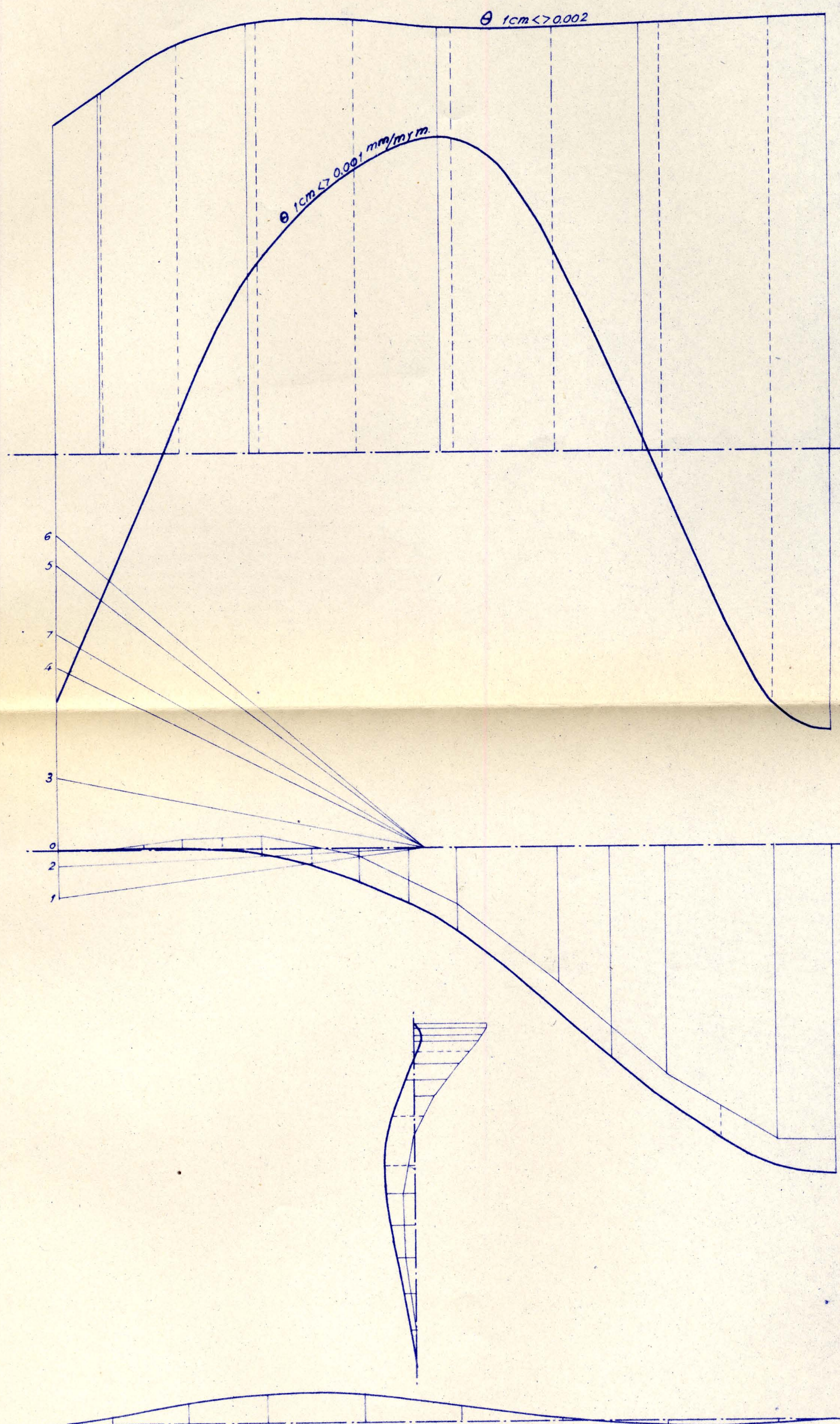
Eduardo Torroja 21/11/1939 ord. Torroja traz. G^a Monje dib. Andrés comp. proc.
Oficina Técnica nº 363.120 Hormigonado de roscas 6-7

HORMIGONADO ROSCAS 6-7



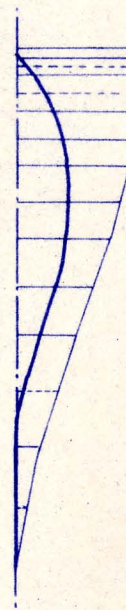
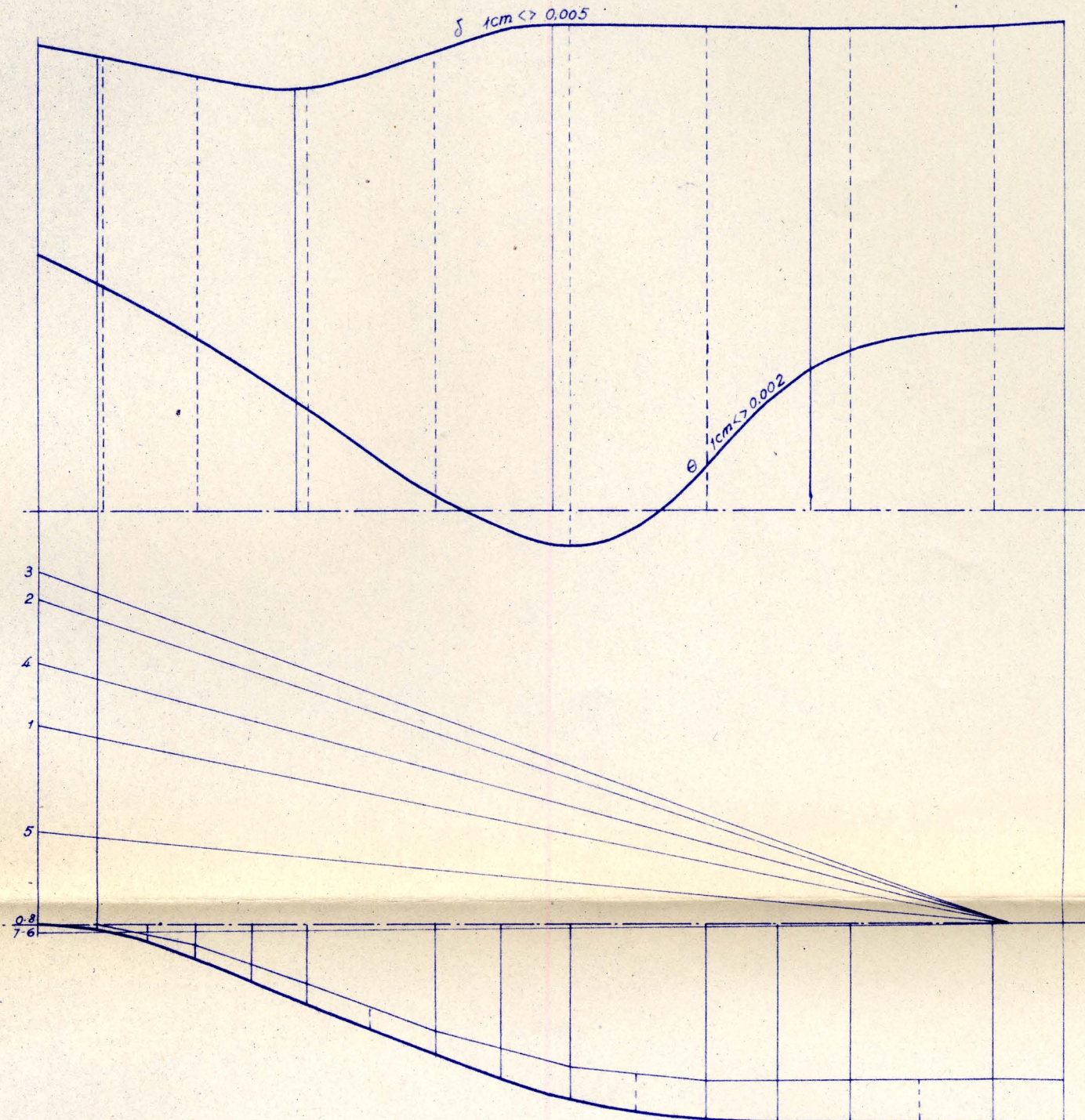
Eduardo Torroja 21/11/1939 ord.Torroja traz. G^a Manje dib. Andrés comp. proc.
Oficina Técnica nº 363.121 Hormigondo de roscas 8

HORMIGONADO ROSCAS 8



Eduardo Torroja 21/11/1939 ord. Torroja traz. Gº Manje dib. Andrés comp. proc.
Oficina Técnica nº 363.122 Hormigonado del tablero

HORMIGONADO DEL TABLERO

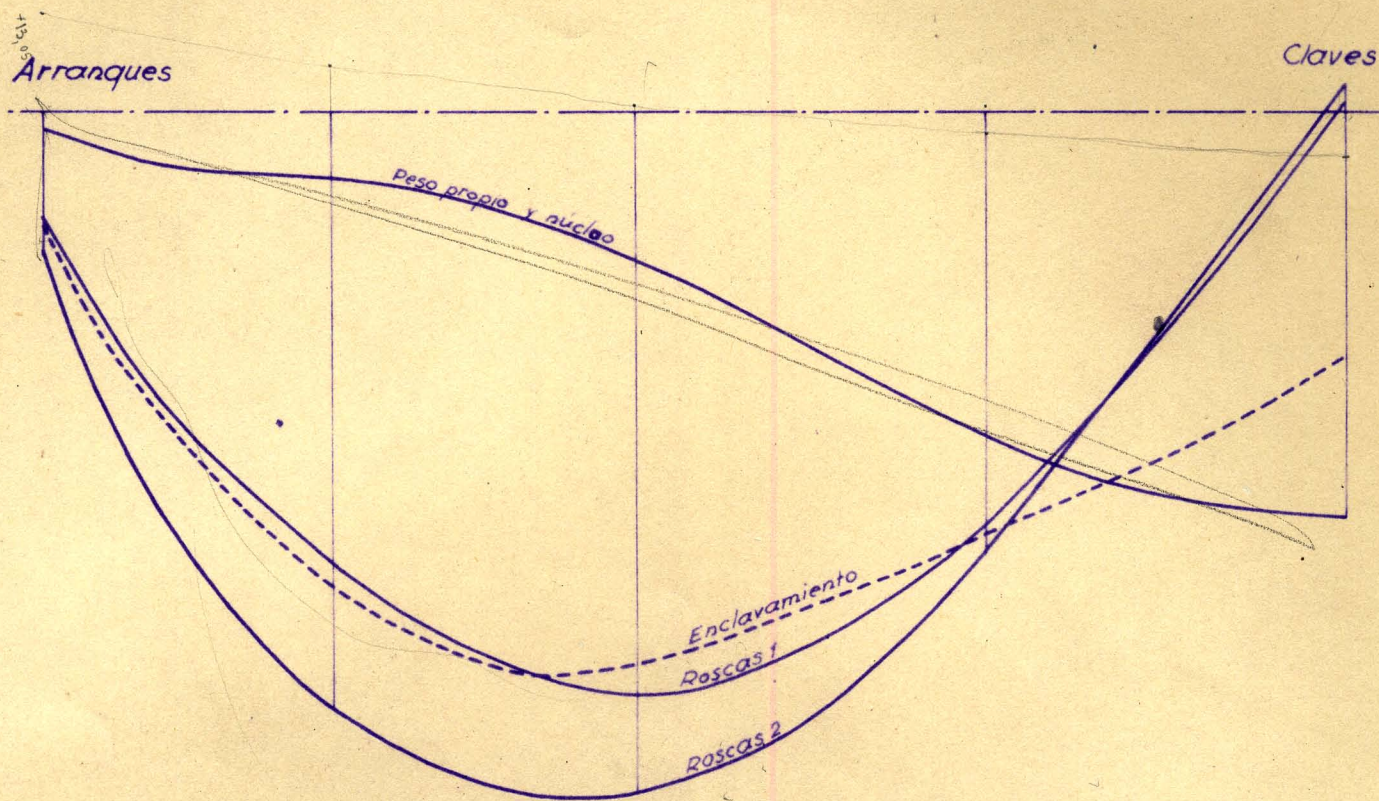


Flechas horizontales
Escala 1:0,2

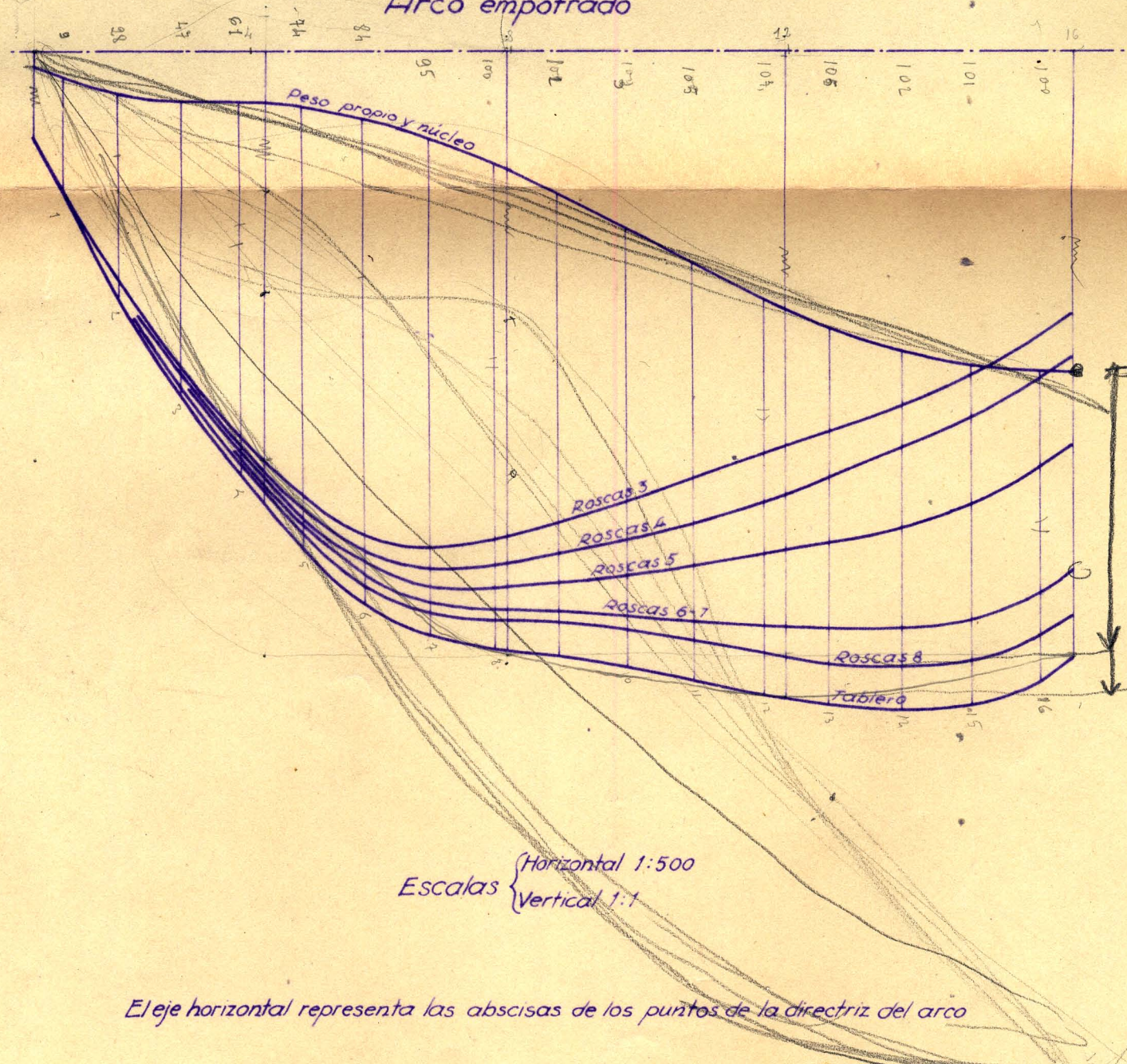


ELÁSTICAS EN SENTIDO VERTICAL EN LOS DIFERENTES MOMENTOS DEL HORMIGONADO (TRASDOS)
 INTRADOS

Arco articulado



Arco empotrado



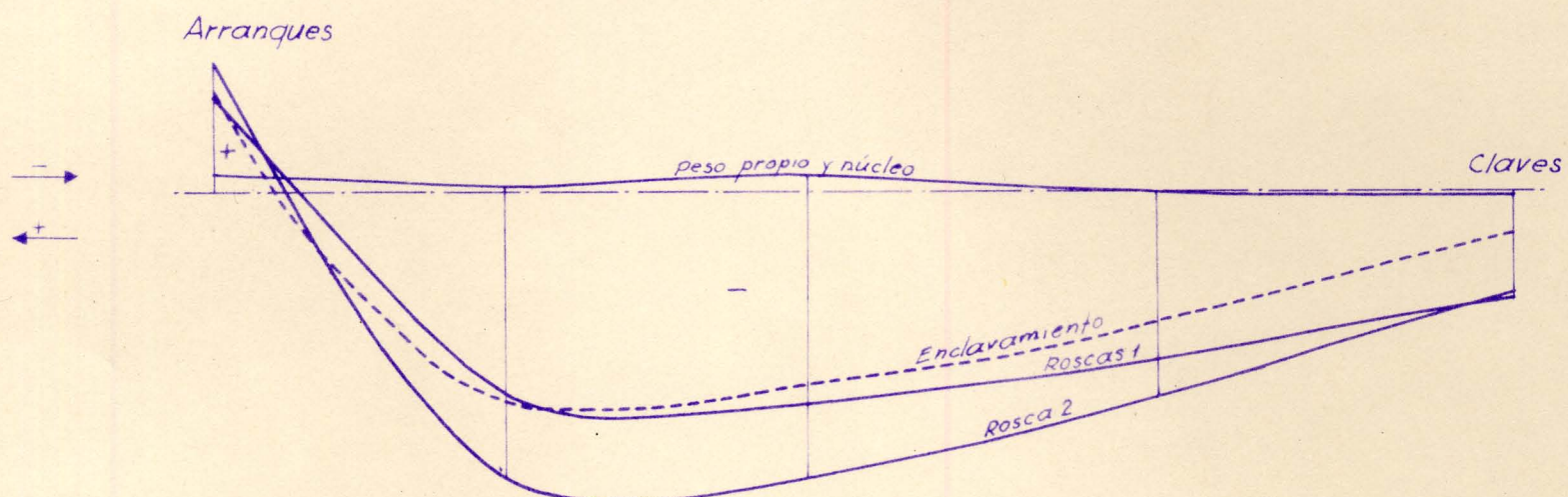
Eje horizontal representa las abscisas de los puntos de la directriz del arco

Eduardo Torroja 21/11/1939 ord. Torroja traz. G.º Monje dib. Andrés comp. proc.

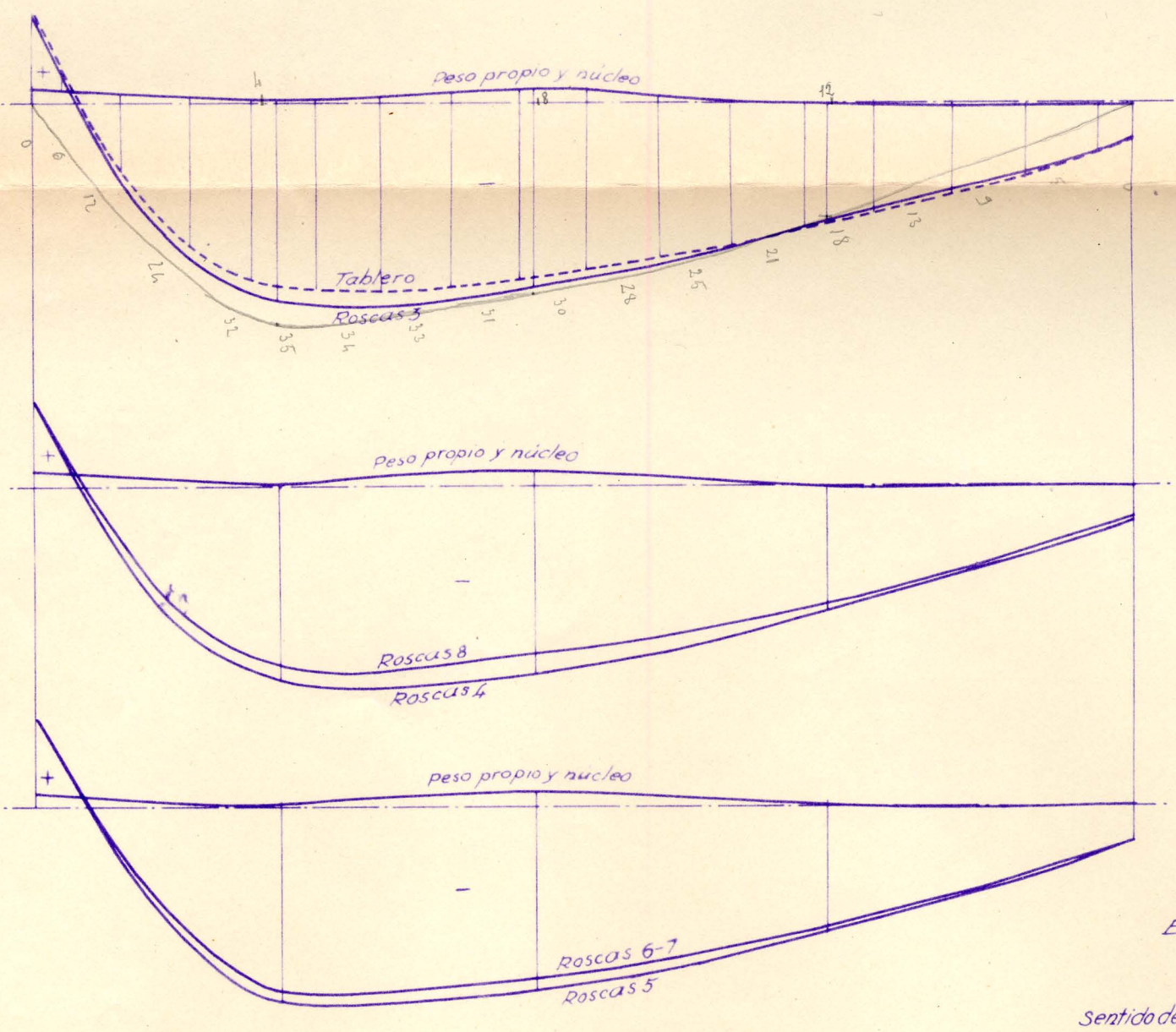
Oficina Técnica nº 363.124 Elástica de los momentos horizontales del trasdós

ELÁSTICA DE LOS MOMENTOS HORIZONTALES DEL TRASDÓS
INTRADÓS

Arco articulado



Arco empotrado



El eje horizontal representa las abcisas de los puntos de la directriz del arco

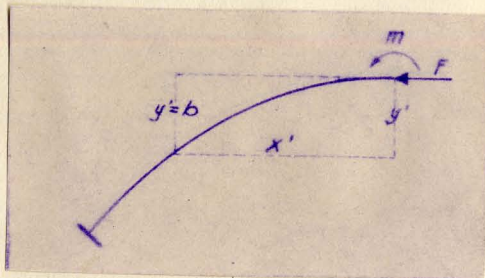
CORRIENTES DEBIDOS A LA APERTURA DE CLAVE.-

Calcularemos las dimensiones de la abertura en clave, dividiendo el arco en las mismas secciones que en el Capítulo III pág.

| | $b = y'$ m | $M = 2250 + 45b$ m. ton | x' m. | I m^4 |
|--|---------------|----------------------------|------------|------------|
|--|---------------|----------------------------|------------|------------|

| | | | | |
|---|-------|------|-------|-----|
| 1 | 33,8 | 3770 | 81,38 | 100 |
| 2 | 24,94 | 3375 | 71,77 | 78 |
| 3 | 17,49 | 3035 | 61,64 | 63 |
| 4 | 11,43 | 2765 | 51,04 | 56 |
| 5 | 6,75 | 2554 | 40,04 | 52 |
| 6 | 3,37 | 2402 | 28,78 | 50 |
| 7 | 1,18 | 2303 | 17,34 | 49 |
| 8 | 0,13 | 2255 | 5,80 | 48 |

| | Δs | $\frac{M}{I}$ | Δs | $\frac{M}{I} \Delta s$ | $\frac{M}{I} y' \Delta s$ |
|---|------------|---------------|------------|------------------------|---------------------------|
| 1 | 13,6 | 511 | | 41600 | 17300 |
| 2 | 12,9 | 557 | | 40000 | 13950 |
| 3 | 12,4 | 596 | | 36800 | 11440 |
| 4 | 12,1 | 596 | | 30500 | 7500 |
| 5 | 11,8 | 577 | | 23100 | 3890 |
| 6 | 11,7 | 564 | | 16300 | 1900 |
| 7 | 11,6 | 544 | | 9440 | 640 |
| 8 | 11,5 | 539 | | 3130 | 70 |
| | | 4484 | | 200870 | 56690 |



$$E = 525,000 \text{ kg/cm}^2 = 5.250,000$$

ton/m²

$$\text{Giro: } \theta \int_0^{\frac{l}{2}} \frac{M}{E I} ds = \frac{4484}{5.250,000} = \\ = 0,000853.$$

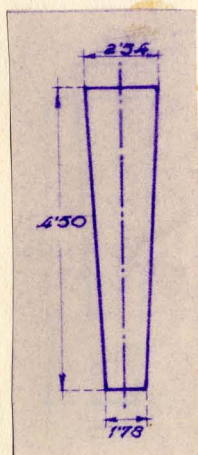
desplazamiento horizontal:

$$\delta_x = \int_0^{\frac{l}{2}} \frac{M}{E I} y' ds = \frac{56690}{5250000} = 0,0108 \text{ m.}$$

desplazamiento vertical:

$$\delta_y = \int_0^{\frac{l}{2}} \frac{M}{E I} x' ds = \frac{200870}{5250000} = 0,0381 \text{ m.}$$

Dimensiones de la abertura:



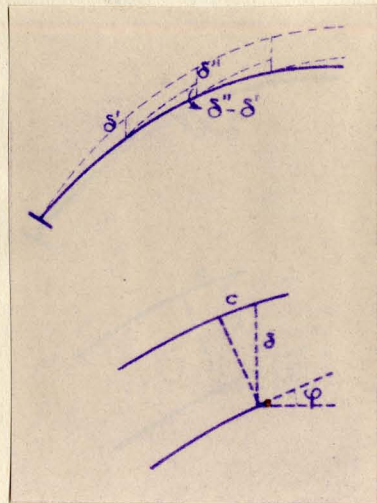
$$\text{En el centro: } 2 \delta_x = 2,16 \text{ cm.}$$

$$\text{Trasdós: } 2 \delta_x + 2\theta \times \frac{4,50}{2} = 2,16 + \\ + 0,38 = 2,54 \text{ cm.}$$

$$\text{Intradós: } 2 \delta_x - 2\theta \times \frac{4,50}{2} = 2,16 - \\ - 0,38 = 1,78 \text{ cm.}$$

Para anular la flecha vertical δ_y no solo en clave sino en todo el arco, se hará una corrección en las dimensiones de las barras de la cimbra metálica. Para calcularla hallemos la flecha δ en cada una de las 8 secciones, producida por el momento $M = 2250$ ton. y la fuerza $F = 45$ tons. en la clave. La corrección en un trozo

de la directriz, será:



$c = \delta \operatorname{sen} \varphi$ para el primero, y
 $c = (\delta'' - \delta') \operatorname{sen} \varphi = \Delta \delta \operatorname{sen} \varphi$ para el segundo y demás. A continuación se calculan las flechas en las secciones consideradas

$$\delta = \theta x' = \frac{M}{E I} \Delta s x'$$

| | $\theta = \frac{M}{E I} \Delta s$ Giros parciales $x 1000$ | Sección 2 x' m. | Sección 3 x' mm |
|---|--|-------------------------|-------------------------|
| 1 | 0,0972 | 9,61 <u>0,934</u> | 19,74 |
| | | 0,934 | 1,92 |
| 2 | 0,106 | | 10,13 <u>1,07</u> |
| | | | 2,99 |
| 3 | 0,114 | | |
| 4 | 0,114 | | |
| 5 | 0,110 | | |
| 6 | 0,108 | | |
| 7 | 0,104 | | |
| 8 | 0,103 | | |

$$\theta = \frac{M}{E I} \Delta s$$

| | Giros parciales. x 1000 | Sección 4 x' | Sección 5 x' | |
|---|----------------------------|-----------------|---------------------|-------|
| 1 | 0,0972 | 30,34 | 2,95 | 41,34 |
| 2 | 0,106 | 20,73 | 2,19 | 31,73 |
| 3 | 0,114 | 10,60 | <u>1,21</u> 6,35 | 21,60 |
| 4 | 0,114 | | | 11,00 |
| | | | | 1,25 |
| | | | | 11,09 |
| 5 | 0,110 | | | |
| 6 | 0,108 | | | |
| 7 | 0,104 | | | |
| 8 | 0,103 | | | |

$$\theta = \frac{M}{E I} \Delta s$$

| | Giros parciales. x 1000 | Sección 6 x' | Sección 7 x' | Sección 8 x' | |
|---|----------------------------|-----------------|----------------------|-----------------|----------------------|
| 1 | 0,0972 | 52,60 | 5,11 | 64,04 | 6,20 |
| 2 | 0,106 | 42,99 | 4,55 | 54,43 | 5,76 |
| 3 | 0,114 | 38,86 | 4,43 | 44,30 | 5,05 |
| 4 | 0,114 | 22,26 | 2,54 | 33,70 | 3,84 |
| 5 | 0,110 | 11,26 | <u>1,24</u> 17,87 | 22,70 | 2,50 |
| 6 | 0,108 | | | 11,44 | <u>1,24</u> 24,61 |
| 7 | 0,104 | | | | 11,54 |
| 8 | 0,103 | | | | <u>1,20</u> 33,38 |

| | Flechas δ_y m/m | Diferen- cias $\Delta \delta_y$ m/m | $\operatorname{sen} \varphi$ | $c = \Delta \delta \operatorname{sen}$ m/m | Nudos de la cercha |
|---|---------------------------|---|------------------------------|---|-----------------------|
| 1 | 0,0 | | | | |
| 2 | 0,934 | 0,934 | 0,645 | 0,6 | (3) |
| 3 | 2,99 | 2,056 | 0,560 | 1,15 | (5) |
| 4 | 6,35 | 3,36 | 0,460 | 1,55 | (7) |
| 5 | 11,09 | 4,74 | 0,350 | 1,66 | (9) |
| 6 | 17,87 | 6,78 | 0,260 | 1,76 | (11) |
| 7 | 24,61 | 6,74 | 0,140 | 0,94 | (13) |
| 8 | 33,38 | 8,77 | 0,060 | 0,53 | (15) |

Como las correcciones a efectuar son muy pequeñas las haremos sobre cada dos barras seguidas, cuyo nudo común es el que se expresa en el cuadro anterior.

DIMENSIONES DE LAS BARRAS DE LA CIMBRA EN MONTAJE.-

Los acortamientos de las barras de las cabezas por unidad de longitud se tienen dibujados en los planos 5-3 y 5-4. Multiplicando el valor medio correspondiente a cada barra, en régimen de trabajo. Restando de éstos los ultimamente hallados, tendremos las dimensiones en que hay que agrandar las barras teóricas al montaje.

| <u>Cabeza superior</u> | | Acorta- mientos | Acorta- mientos | Corrección por apertu- ra de cla- ve. | Dimensio- nes en montaje. |
|--|--|------------------------|--------------------|--|---------------------------------|
| Barras dimen- siones en trabajo. | | unita- rios. m/m | | | |

| | | | | | |
|-------|-------|------|--------|----------|-------|
| 0-1 | 6,884 | 0,84 | 0,0058 | | 6,890 |
| 1-2 | 6,719 | 0,79 | 0,0053 | | 6,724 |
| 2-3 | 6,574 | 0,73 | 0,0048 | -0,0006 | 6,578 |
| 3-4 | 6,451 | 0,70 | 0,0045 | | 6,455 |
| 4-5 | 6,352 | 0,66 | 0,0042 | -0,00115 | 6,355 |
| 5-6 | 6,264 | 0,63 | 0,0040 | | 6,268 |
| 6-7 | 6,178 | 0,62 | 0,0038 | -0,0015 | 6,180 |
| 7-8 | 6,116 | 0,60 | 0,0037 | | 6,120 |
| 8-9 | 6,057 | 0,59 | 0,0036 | -0,0017 | 6,059 |
| 9-10 | 6,005 | 0,60 | 0,0036 | | 6,009 |
| 10-11 | 5,972 | 0,62 | 0,0036 | -0,0018 | 5,974 |
| 11-12 | 5,944 | 0,64 | 0,0038 | | 5,948 |
| 12-13 | 5,920 | 0,67 | 0,0040 | -0,0009 | 5,923 |
| 13-14 | 5,897 | 0,69 | 0,0041 | | 5,901 |
| 14-15 | 5,881 | 0,72 | 0,0042 | -0,0005 | 5,885 |
| 15-16 | 5,878 | 0,73 | 0,0043 | | 5,882 |

| <u>Cabeza inferior</u> | | Acorta- mientos | Acorta- mientos | Corrección por apertu- ra de cla- ve. | Dimensio- nes en montaje. |
|--|--|------------------------|--------------------|--|---------------------------------|
| Barras dimen- siones en trabajo, | | unita- rios. m/m | | | |

| | | | | | |
|-------|-------|------|--------|---------|-------|
| 0-1' | 3,350 | 0,31 | 0,0009 | | 3,351 |
| 1'-2' | 6,579 | 0,32 | 0,0021 | | 6,581 |
| 2'-3' | 6,431 | 0,36 | 0,0023 | | 6,433 |
| 3'-4' | 6,274 | 0,38 | 0,0024 | -0,0006 | 6,276 |

| | | | | | |
|---------|-------|------|---------|----------|-------|
| 4'-5' | 6,173 | 0,43 | 0,00266 | | 6,176 |
| 5'-6' | 6,074 | 0,46 | 0,0028 | -0,00115 | 6,076 |
| 6'-7' | 5,980 | 0,48 | 0,0029 | | 5,983 |
| 7'-8' | 5,922 | 0,51 | 0,0030 | -0,0015 | 5,923 |
| 8'-9' | 5,862 | 0,53 | 0,0031 | | 5,865 |
| 9'-10' | 5,811 | 0,56 | 0,0033 | -0,0017 | 5,813 |
| 10'-11' | 5,783 | 0,58 | 0,0034 | | 5,786 |
| 11'-12' | 5,764 | 0,61 | 0,0035 | -0,0018 | 5,766 |
| 12'-13' | 5,745 | 0,61 | 0,0035 | | 5,748 |
| 13'-14' | 5,717 | 0,58 | 0,0033 | -0,0009 | 5,719 |
| 14'-15' | 5,713 | 0,52 | 0,0030 | | 5,716 |
| 15'-16' | 5,708 | 0,44 | 0,0025 | -0,0005 | 5,710 |
| 16'-17' | 2,851 | 0,41 | 0,0012 | | 2,852 |

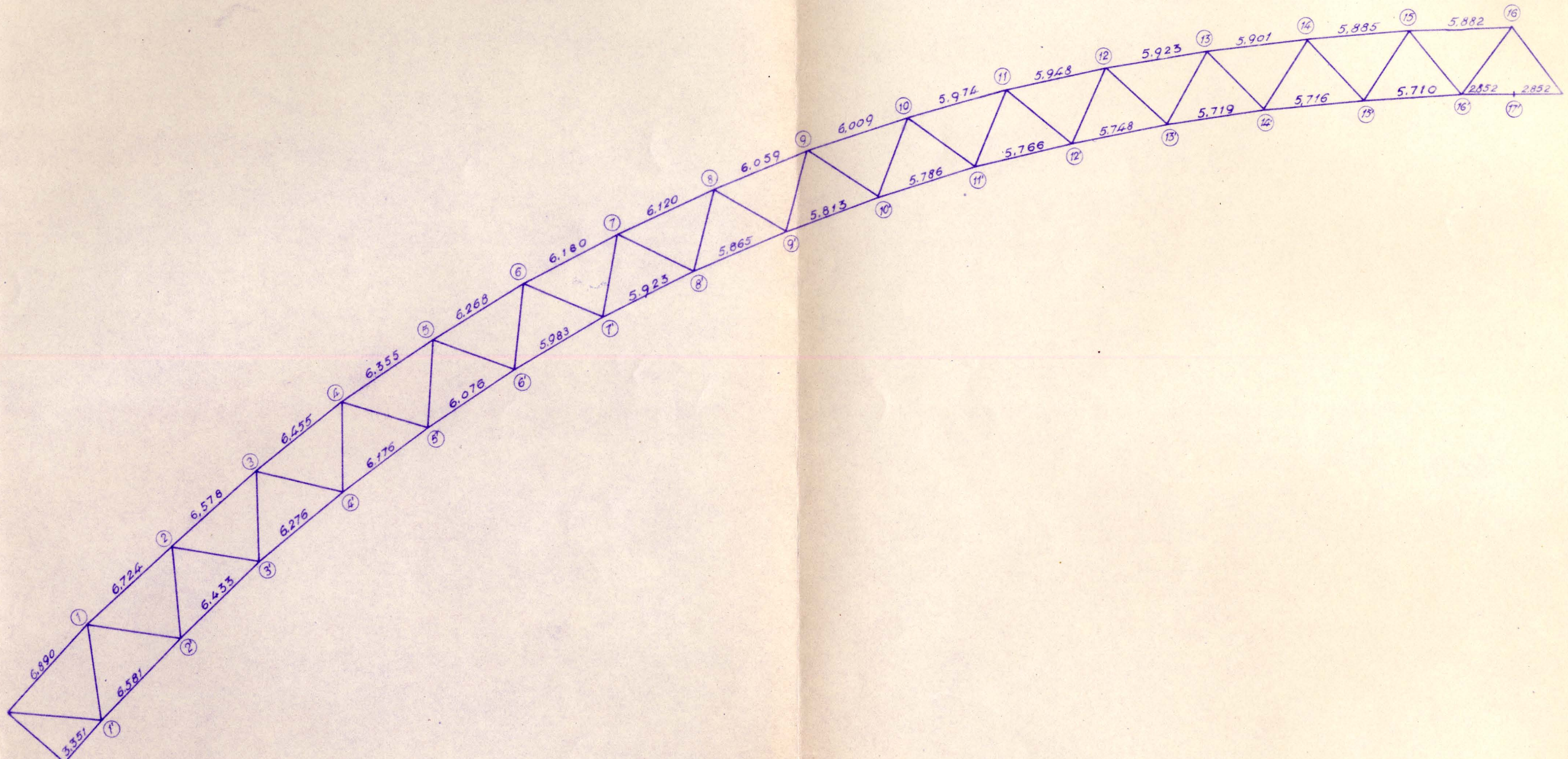
COORDENADAS DE LOS NUDOS DE LA CABEZA SUPERIOR DE LA
CIMBRA, EN MONTAJE.-

| Nudos | x | y | Tangente (aproximada) en el nudo |
|-------|--------|--------|-------------------------------------|
| 0 | -1,661 | 1,479 | 1,065 |
| 1 | 3,054 | 6,500 | 1,014 |
| 2 | 7,897 | 11,167 | 0,915 |
| 3 | 12,866 | 15,478 | 0,821 |
| 4 | 17,969 | 19,433 | 0,731 |
| 5 | 23,206 | 23,040 | 0,647 |
| 6 | 28,564 | 26,287 | 0,568 |
| 7 | 34,031 | 29,186 | 0,493 |
| 8 | 39,596 | 31,727 | 0,423 |
| 9 | 45,242 | 33,923 | 0,357 |
| 10 | 50,954 | 35,784 | 0,297 |
| 11 | 56,724 | 37,338 | 0,242 |
| 12 | 62,539 | 38,582 | 0,189 |
| 13 | 68,384 | 39,539 | 0,138 |
| 14 | 74,248 | 40,199 | 0,090 |
| 15 | 80,119 | 40,596 | 0,045 |
| 16 | 86,000 | 40,726 | 0 |

ALZADO DE LA CIMBRA CON DIMENSIONES EN MONTAJE

Escala 1:250

| | | | | | | | | |
|---------|---------|--------------|--|-------------|------------|------------|-------|--------------|
| Eduardo | Torroja | 21/n | lq39 | ord.Torrejo | traz.Ponte | dib.Andrés | comp. | proc. |
| Oficina | Técnica | nº 363.261.1 | Alzado de la cimbra con dimensiones en montaje | | | | | Escala 1:250 |



| Caso | → | a | b | c | d | e | f |
|---------|-----------|--------------------|-----------|--------------------|-----------|--------------------|--------------------------------------|
| Sección | | $\sum \theta_{ds}$ | d | $\sum \theta_{ds}$ | d | $\sum \theta_{ds}$ | d |
| 0 | m/m | 4,98 | -0,003050 | 4,98 | -0,001260 | 4,98 +0,001010 | 4,98 " 0 " 0 " |
| 1 | +0,000135 | 4,60 | -0,001544 | 4,60 | -0,000380 | 4,60 +0,000480 | 4,60 -0,000081 " 1,91 -0,000027 1,42 |
| 2 | -0,000737 | 4,38 | +0,000542 | 4,38 | +0,000408 | 4,38 -0,000155 | 4,38 -0,000126 " 1,94 -0,000070 1,39 |
| 3 | -0,000862 | 4,19 | +0,002450 | 4,19 | +0,000469 | 4,19 -0,001044 | 4,19 -0,000107 " 2,37 -0,000058 1,55 |
| 4 | +0,000135 | 4,15 | +0,003365 | 4,15 | -0,000073 | 4,15 -0,002050 | 4,15 0,000 " 2,35 0,0000 1,53 |

| Caso | g | h | i | j | k | l | m |
|---------|-----------|--------------------|-------------------------|---|---|---|------------------------------------|
| Sección | | $\sum \theta_{ds}$ | d | $\sum \theta_{ds}$ | d | $\sum \theta_{ds}$ | d |
| 0 | 0 | " 0 " | 0 " 0 " 0 " 0,747 0,664 | 0 " 0 " 0 " 0,747 0,664 | 0 " 0 " 0 " 0,747 0,664 | 0 " 0 " 0 " 0,747 0,664 | 0 " 0 " 0 " 0,747 0,664 |
| 1 | -0,000016 | 1,17 | -0,000063-1,54 | +0,00009 2,17 -0,000137 2,55 -0,645 0,761 | -0,000110 2,32 0,460 0,888 | -0,000110 2,32 0,460 0,888 | " $\Delta Y = + d \sin \varphi$ |
| 2 | -0,000126 | 1,08 | -0,000296-1,47 | -0,000126 2,01 -0,000004 2,28 0,260 0,991 | -0,000004 2,28 0,260 0,991 | -0,000004 2,28 0,260 0,991 | $\sum \theta_x ds$ |
| 3 | -0,000189 | 1,17 | -0,000332-1,54 | -0,000176 1,97 +0,000004 2,28 0,260 0,991 | -0,000004 2,28 0,260 0,991 | -0,000004 2,28 0,260 0,991 | $\Delta \alpha = - d \cos \varphi$ |
| 4 | 0,000 | 1,19 | 0,000 | -1,53 0,000 1,95 0,000 2,25 0,000 2,35 0,000 1,00 | 0,000 1,95 0,000 2,25 0,000 2,35 0,000 1,00 | 0,000 1,95 0,000 2,25 0,000 2,35 0,000 1,00 | $\sum \theta_x ds$ |